

ЦНИИИС МИНТРАНССТРОЯ

**МЕТОДИЧЕСКИЕ УКАЗАНИЯ
ПО ПРОЕКТИРОВАНИЮ ЗЕМЛЯНОГО
ПОЛОТНА (ВЫЕМОК) В
ЛЕГКОВЫЕТРИВАЮЩИХСЯ
СКАЛЬНЫХ ПОРОДАХ**

Москва, 1974г.

ВСЕСОЮЗНЫЙ НАУЧНО-ИССЛЕДОВАТЕЛЬСКИЙ ИНСТИТУТ
ТРАНСПОРТНОГО СТРОИТЕЛЬСТВА

УТВЕРЖДАЮ:
Зам.директора института
/Г.ХАСХАЧИХ/

МЕТОДИЧЕСКИЕ УКАЗАНИЯ
ПО ПРОЕКТИРОВАНИЮ ЗЕМЛЯНОГО
ПОЛОТНА (ВЫЕМОК) В
ЛЕГКОВЫВЕТРИВАЮЩИХСЯ
СКАЛЬНЫХ ПОРОДАХ

Москва 1974

УДК 625.114:624.131.25

(c) ВСЕСОЮЗНЫЙ НАУЧНО-ИССЛЕДОВАТЕЛЬСКИЙ ИНСТИТУТ
ТРУДА ИСПОРТНОГО СТРОИТЕЛЬСТВА, 1974г.

ПРЕДИСЛОВИЕ

Настоящие методические указания разработаны в развитие "Предложений по совершенствованию норм проектирования скальных выемок" (ЦНИИС, 1968). Они освещают вопросы прогнозирования общей и местной устойчивости откосов выемок в легковыветривающихся породах, получения расчетных параметров, типового и индивидуального проектирования и др. Приводимые количественные показатели расчетных параметров и значений интенсивности выветривания являются ориентировочными и подлежат дальнейшему уточнению по мере накопления опыта проектирования.

Методические указания предназначены для использования при проектировании выемок вновь строящихся дорог и при разработке оздоровительных мероприятий на эксплуатируемых объектах.

Основные вопросы, освещенные в методических указаниях, предварительно рассматривались в Ленгипротрансе, Мосгипротрансе, Киевгипротрансе, Харгипротрансе и Томгипротрансе, были одобрены и рекомендованы к изданию Главтранспроектом.

Методические указания составлены в лаборатории конструкций земляного полотна кандидатами техн. наук Ф.И. ЦЕЛИКОВЫМ, Е.А. ЯКОВЛЕВОЙ, А.И. ПЕСОВЫМ и инженерами А.М. ВОЛОСИНОМ, Г.И. КОКОВАШИНОЙ, Л.М. БИРЮКОВОЙ, Л.И. КУЗНЕЦОВОЙ.

ЗАМ.ДИРЕКТОРА ИНСТИТУТА

/Г.ХАСХАЧИХ/

РУКОВОДИТЕЛЬ ОТДЕЛЕНИЯ
ЗЕМЛЯНОГО ПОЛОТНА И
ВЕРХНЕГО СТРОЕНИЯ ПУТИ

/Б.ЦВЕЛОДУБ/

I. ИНЖЕНЕРНО-ГЕОЛОГИЧЕСКИЕ СВОЙСТВА ЛЕГКОВЫВЕТРИВАЮЩИХСЯ СКАЛЬНЫХ ПО- РОД И ОСОБЕННОСТИ ПРОЕКТИРОВАНИЯ ОТКОСОВ В НИХ

Характеристика легковыветривающихся пород

I.1. Легковыветривающиеся породы (аргиллиты, алевролиты, глинистые мергели и др.) обычно встречаются в различных сочетаниях между собой, а также переслаиваются с более стойкими по отношению к выветриванию породами (песчаниками, известняками, доломитами и др.).

I.2. Рассматриваемые породы, даже если они имеют первоначально относительно высокую прочность, после обнажения в откосах начинают в большинстве случаев быстро разрушаться (в пределах зоны активного воздействия выветривания). При этом в поверхностных частях вскрытого массива образуется преимущественно щебенисто-древесный или древесно-песчано-пылевато-глинистый материал.

I.3. С увеличением степени выветрелости пород прочность их и объемный вес уменьшаются, а пористость и влажность возрастают.

I.4. Породы одного наименования могут иметь различную степень устойчивости по отношению к выветриванию. Это объясняется комплексным влиянием на степень устойчивости к выветриванию легковыветривающихся пород большого числа, трудно поддающихся количественному учету различно действующих факторов: состава и типа цемента, степени метаморфизма, химического и минералогического составов и т.п.

Классификация пород

I.5. Основным показателем состояния пород в откосе следует считать их отношение к переменному высушиванию и увлажнению. Методика определения этого показателя приведена в приложении I.

Поведение пород в условиях переменного высушивания и увлажнения дает возможность прогнозировать состояние откосов во времени,¹ так как оно отражает сиюминутное значение труднос поддающихся количественному учету факторов, определяющих выветриваемость пород.

1.6. Разделение легковыетривающихся пород по степени устойчивости их к выветриванию на группы представлено на рис. I.

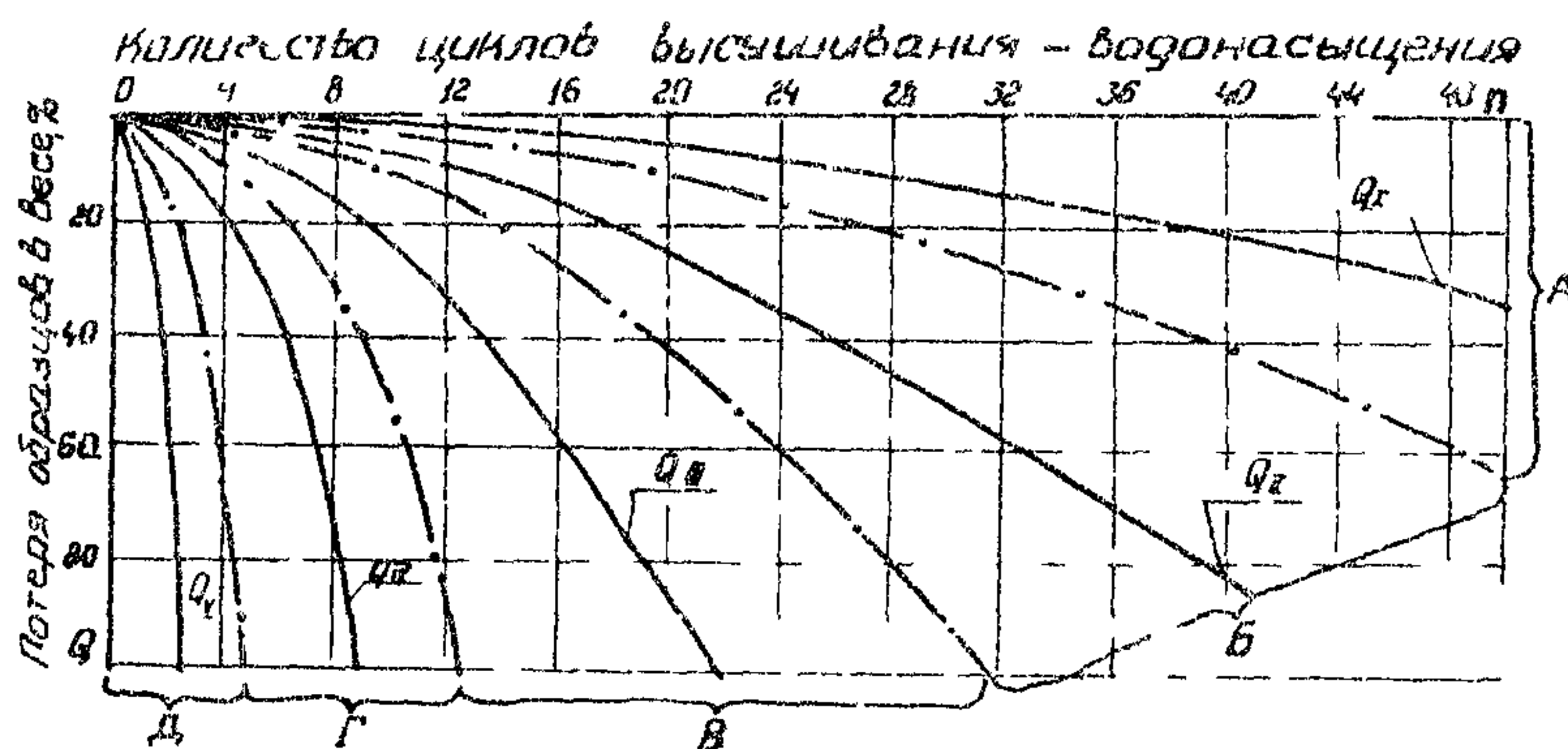


Рис. I. Зависимости потери образцов в весе (за счет фракций менее 10 мк) от количества циклов высушивания - водонасыщения для различных по степени устойчивости групп пород: $Q_I, Q_{II}, Q_{III}, Q_{IV}, Q_V$ — средние значения потерь в весе пород соответствующих групп; — границы между группами

- А) I группа — породы относительной устойчивости
- Б) II группа — породы средней устойчивости
- В) III группа — породы слабой устойчивости
- Г) IV группа — породы неустойчивые
- Д) V группа — породы весьма неустойчивые

Методика использования графика приведена в приложении I и в разделах 2 и 3.

1 Имеющиеся общие инженерно-геологические классификации предусматривают регистрацию состояния пород на момент обследования, но не связанны с состоянием их (интенсивностью выветривания) на ближайшую перспективу [1, 2, 3, 4]. Разделение пород на слабо- и легковыетривающиеся в проектно-изыскательской практике обычно не предусматривает четких количественных критериев для отнесения пород к той или иной группе [5, 6, 7, 8].

I.7. Для каждой выделенной группы пород по устойчивости их к выветриванию прогнозируется вероятная мощность образования в них зоны выветривания во времени (рис.2) и интенсивность осыпания продуктов выветривания с 1 м² поверхности откоса в зависимости от крутизны и литологии пород (рис. 3).

Виды деформаций откосов выемок

I.8. Основными видами деформаций откосов выемок и полувыемок в легковыветривающихся скальных породах являются:

осыпь интенсивно выветривающихся пород;
выпадение из откосов отдельных глыб (обломков) под более стойких к выветриванию (песчаников, известняков и др.), чем переслаивающие их легковыветривающиеся породы;

обвалы из-за нарушения общей устойчивости откосов; оползни и сполы сильно выветрившегося поверхностного слоя коренных пород и деградированного по размытым откосов, сложенных выветрившимися породами.

Особенности проектирования откосов в легковыветривающихся скальных породах

I.9. В процессе проектирования необходимо осуществить прогнозирование (расчет) общей и местной устойчивости откосов.

На основании полученных результатов оценки общей и местной устойчивости можно установить оптимальную в технико-экономическом отношении конфигурацию откосов по методике приведенной в приложение 2.

I.10. Расчет общей устойчивости необходим для оценки вероятности возникновения обвалов и оползней.

Определение местной устойчивости требуется для прогнозирования интенсивности осыпания продуктов выветривания с откосов в процессе эксплуатации и возможности появления сполывов, а также для осуществления технико-

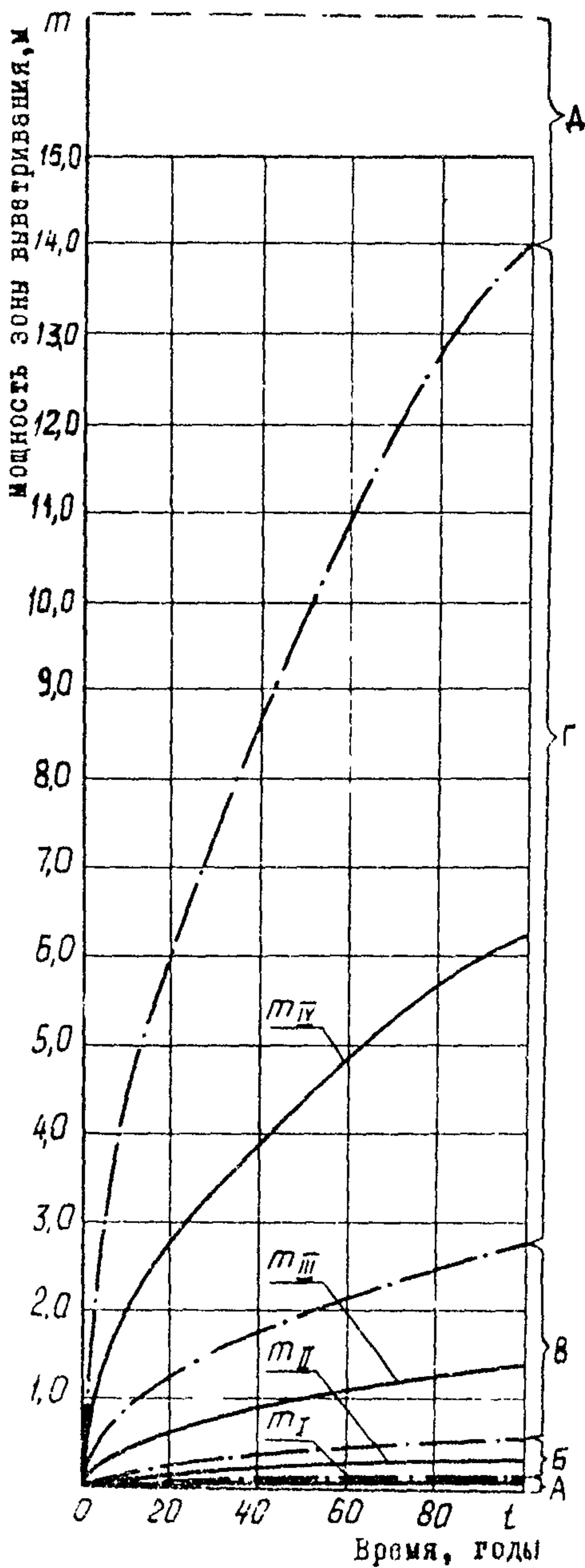


Рис.2. Зависимости изменения мощности зоны выветривания от времени для различных по степени устойчивости групп пород:
 m_1, m_2, m_3, m_4 - средние значения мощности зоны выветривания пород соответствующих групп;
— границы между группами

А) I группа - породы относительно устойчивые / $a_{max} = 0,015 \text{ м/год}$ /

Б) II группа - породы средней устойчивости / $a_{max} = 0,057 \text{ м/год}$ /

В) III группа - породы слабой устойчивости / $a_{max} = 0,275 \text{ м/год}$ /

Г) IV группа - породы неустойчивые / $a_{max} = 1,405 \text{ м/год}$ /

Д) У группы - породы весьма неустойчивые / $a > 1,405 \text{ м/год}$ /

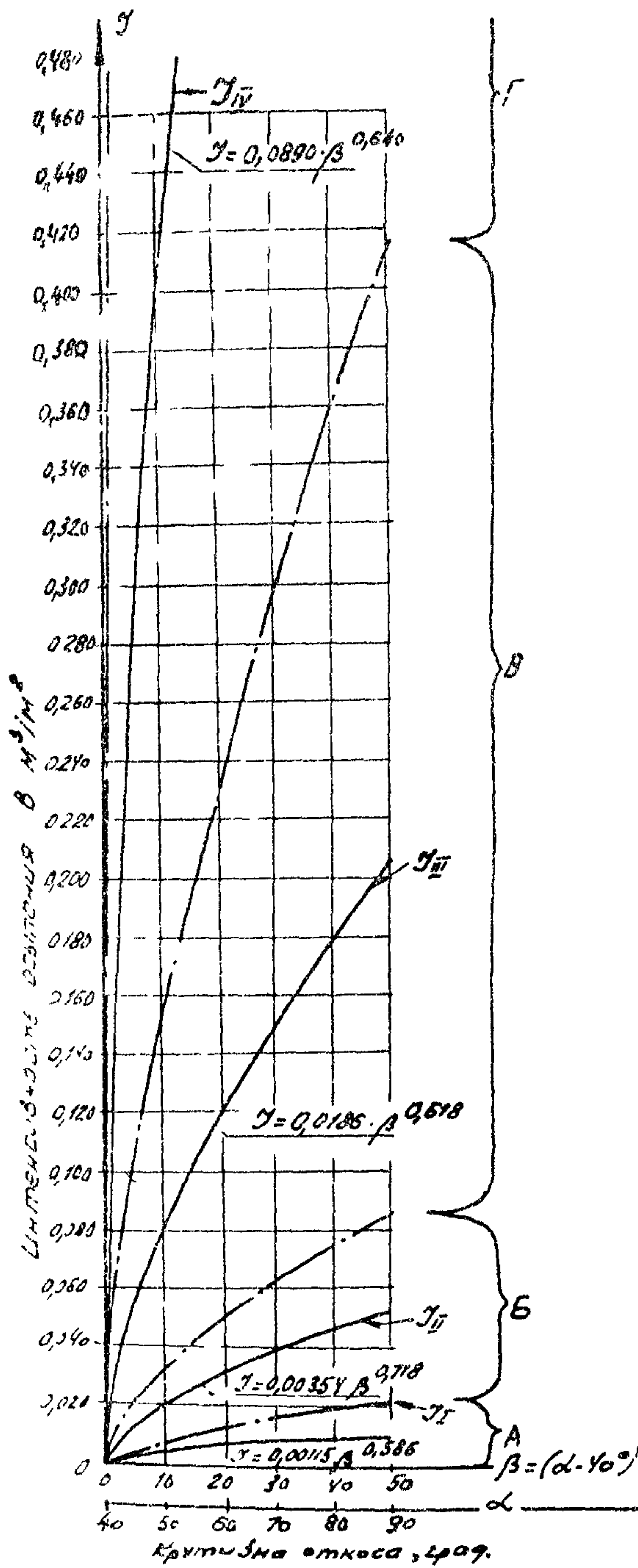


Рис.3. Зависимости интенсивности осипания от крутизны откосов для различных по степени устойчивости грунтов пород: $\bar{\sigma}_t$; $\bar{\sigma}_{II}$; $\bar{\sigma}_{III}$; $\bar{\sigma}_{IV}$ - средние значения интенсивности осипания пород соответствующих групп; — граница между группами

- А) I-группа - породы относительно устойчивые
- Б) II группа - породы средней устойчивости
- В) III группа - породы слабой устойчивости
- Г) IV группа - породы неустойчивые

экономического сравнения вариантов и выбора оптимального очертания откосов.

1.11. Особенности проектирования откосов в легко-выветривающихся скальных породах связаны с тем, что массивы, в которых они устрашаются, являются структурной анизотропной (неоднородной) средой, поэтому к ним, как правило, не применимы основные расчетные методы, разработанные для оценки устойчивости рыхлых грунтов.

Учет структурной анизотропии исключает (или весьма затрудняет) возможность использования какого-либо универсального способа оценки общей устойчивости откосов, вызывает появление множества расчетных схем, а также необходимость определения большого количества различных параметров и требует тщательной регистрации инженерно-геологических особенностей массива.

2. РАСЧЕТ ОБЩЕЙ УСТОЙЧИВОСТИ ОТКОСОВ ВЫЕМОК

Расчетные схемы

2.1. Общую устойчивость откосов (при индивидуальном проектировании) следует оценивать в зависимости от их очертания, характера и расположения поверхностей ослабления (трещиноватости, слоистости) по отношению к проектируемому откосу, группы пород по устойчивости к выветриванию (см. рис. I) и прочностных параметров.

2.2. При оценке общей устойчивости следует руководствоваться расчетными схемами¹, представленными в табл. I и на рис. 4, где отражены наиболее характерные условия, встречающиеся в практике. Расчет общей устойчивости сводится к определению предельной высоты устойчивого откоса заданной крутизны при принятом коэффициенте запаса.

¹ В основу предлагаемых схем положены рекомендации Фисенко Г.Л. [2, 9, 10] и Савкова Л.В. [11, 12]; учтены при этом результаты обобщения и анализа других расчетных методов, а также исследований, проведенных в ЦНИИСе.

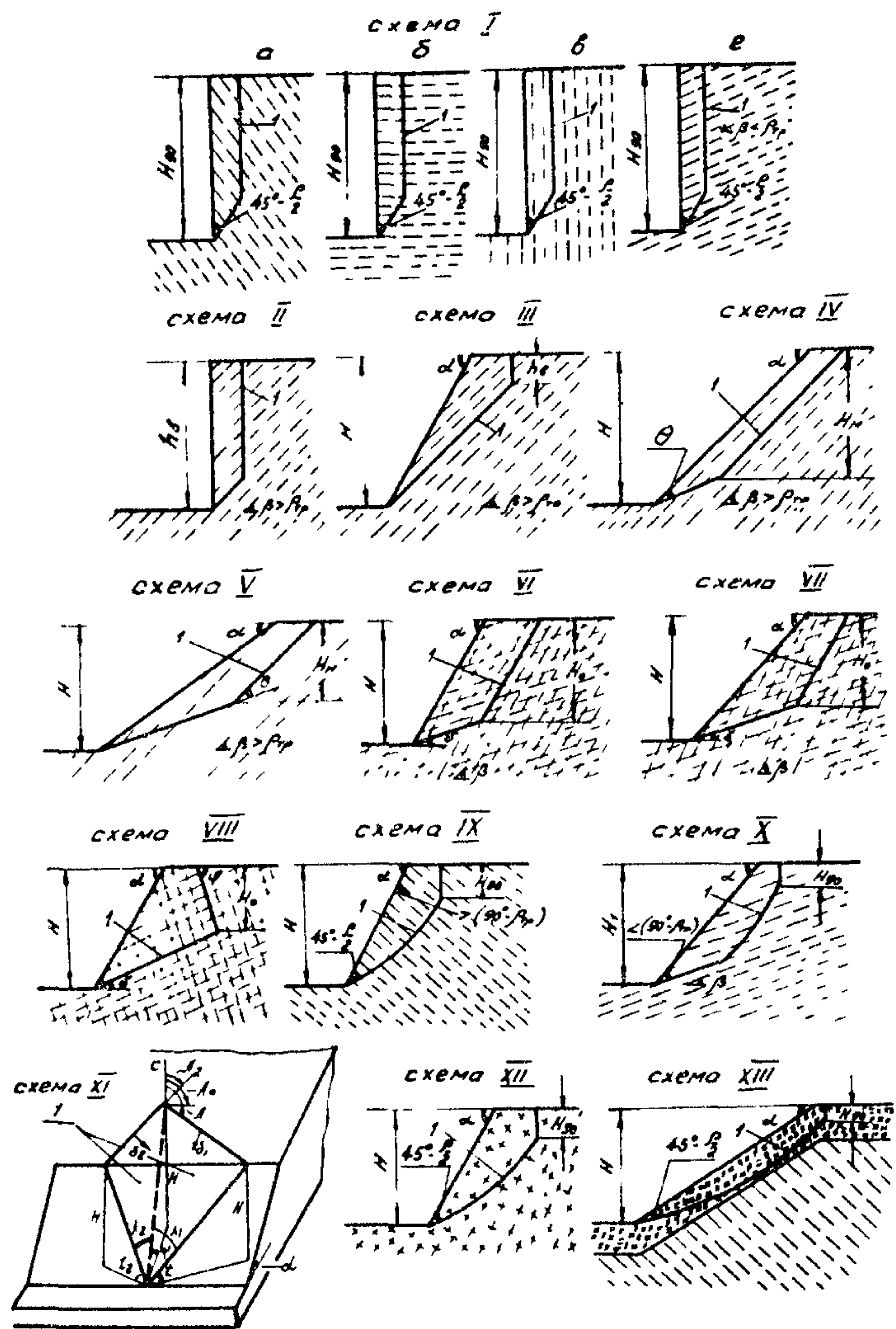


Рис. 4. Расчетные схемы общей устойчивости:
I – контур поверхности обрушения

Таблица I

№ расчетных схем	Характеристика расчетных условий для определения предельной высоты устойчивого откоса	Последовательность расчетов (расчетные формулы)	Необходимые расчетные параметры	Примечания
I	Откос вертикальный, расположение поверхностей ослабления благоприятное ($\alpha \leq \rho_{tp}$)	$H_{tp} = \frac{C_m}{f_0} \cdot \operatorname{ctg}(\beta - \frac{\rho}{2})$	C_m, ρ, f_0, C_{tp} , $l = \frac{l}{W}, C_{tp}$	Рис. 1 приложение 3 Рис. 4
II	Откос вертикальный, расположение поверхностей ослабления неблагоприятное ($\beta > \rho_{tp}$)	$R_s = \frac{C_{tp}}{f_0} \cdot \frac{\cos \rho_{tp}}{\cos \beta \cdot \sin(\beta - \rho_{tp})}$	C_{tp}, ρ_{tp}, f_0	Рис. 2 приложение 3 Рис. 4
III	Откос различной крутизны (α), расположение поверхностей ослабления неблагоприятное ($\beta \geq \rho_{tp}; \alpha \geq \beta$)	$H = \frac{C_{tp}}{f_0} \cdot \frac{\cos \rho_{tp}}{\cos \beta \cdot \sin(\beta - \rho_{tp}) / (1 - \operatorname{ctg} \alpha \cdot \operatorname{ctg} \beta)}$	C_{tp}, ρ_{tp}, f_0	Рис. 3 приложение 3 Рис. 4
IV	Поверхность откоса совпадает с направлением поверхностей ослабления. Расположение поверхностей ослабления неблагоприятное ($\alpha = \beta, \rho > \rho_{tp}$)	$H = A_1 + \sqrt{(H_m - A_1)^2 + H_m \cdot B_1}$ $A_1 = \frac{C_{tp} \cdot \cos \rho_{tp} \cdot C_m}{f_0 \cdot \sin \beta \cdot \cos(\beta + D) / (1 - \operatorname{ctg} \rho_{tp} \cdot \operatorname{ctg} \beta)}$ $B_1 = \frac{2 C_m \cdot \cos \rho_{tp} \cdot \sin(\beta - \theta)}{f_0 \cdot \sin \beta \cdot \sin(\beta - \rho_{tp})}$ $H_m = A_1 - \frac{B_1}{2}$ $\theta = \arctg \left(\frac{\cos \rho}{\sin \rho + \sqrt{\frac{B_1^2}{4} - H_m^2}} \right)$	$C_{tp}, \rho_{tp}, f_0, C_m, C, \rho, l = \frac{l}{W}$	Рис. 4 приложение 3 Рис. 4

Продолжение табл. I

№ расчетных схем	Характеристика расчетных условий для определения предельной высоты устойчивого откоса	Последовательность расчетов (расчетные формулы)	Необходимые расчетные параметры	Примечания
У	Откос более пологий, чем поверхности ослабления. Расположение поверхностей ослабления неблагоприятное ($\alpha < \beta$; $\beta > \rho_{tr}$)	$H = a_1 + \sqrt{a_1^2 + H_m(H_m \cdot b_1 + f_1 - 2a_1)}$ $b_1 = \frac{\operatorname{ctg}(\beta - \theta) - \operatorname{ctg}\beta}{\operatorname{ctg}(\beta - \theta) - \operatorname{ctg}\alpha}$ $a_1 = \frac{C_{tr} \cdot \cos \theta \cdot \cos \rho_{tr}}{\rho(\operatorname{ctg}(\beta - \theta) - \operatorname{ctg}\alpha) \cdot \sin(\beta - \rho_{tr}) \cdot \cos(\theta - \rho) \cdot \sin(\beta - \theta)}$ $f_1 = \frac{2 C_{tr} \cdot \cos \rho_{tr}}{\rho(\operatorname{ctg}(\beta - \theta) - \operatorname{ctg}\alpha) \cdot \sin(\beta - \rho_{tr}) \cdot \sin \beta}$ $H_m = \frac{2a_1 - f_1}{2b_1} \quad \theta = \arctg \left(\frac{\cos \rho}{\sin \rho + \sqrt{2 C_m}} \right)$	C_{tr} ; ρ_{tr} ; C_m ; ρ ; C ; f_0 , $\ell = \frac{l}{w}$	Рис. 5 приложе- ния 3 Рис. 4
УІ	Наличие двух (или более) систем поверхностей ослабления, падающих в сторону откоса под различными углами (α и β), одна из которых совпадает с направлением поверхности откоса ($\beta = \alpha$; $\beta > \beta$)	$H = A + \sqrt{(H_0 - A)^2 + H_0 B}$ $B = \frac{2 C_{tr} \cos \rho_{tr} \cdot \sin \beta}{f_0 \sin(\beta - \theta) \cdot \sin(\beta - \rho_{tr})}$ $A = \frac{C_t \cdot \cos \alpha \cdot \cos \rho_{tr} \cdot \sin \beta}{f_0 \cdot \sin(\beta - \theta) \cdot \sin(\beta - \rho_{tr}) \cdot \cos(\beta - \theta + \rho)}$ $H_0 = A - \frac{B}{2}$	f_0 , ρ_{tr} , C_{tr} (для двух систем поверхностей ослабления)	Рис. 6 приложе- ния 3 Рис. 4

Продолжение табл. I

№ расчетных схем	Характеристика расчетных условий для определения предельной высоты устойчивого откоса	Последовательность расчетов (расчетные формулы)	Необходимые расчетные параметры	Примечания
УII	Наличие двух (или более) поверхностей ослабления, падающих в сторону откоса под различными углами ($\beta < \alpha$) и несоппадающими с углом откоса ($\beta > \alpha > \delta$)	$H = Q + \sqrt{\alpha^2 + H_0(H_0 b + f - 2\alpha)}$ $\alpha = \frac{C_{tr} \cdot \cos \rho_{tr} \cdot \cos \rho_{tp}}{f_0 (\operatorname{ctg} \delta - \operatorname{ctg} \alpha) \cdot \sin(\beta - \rho_{tr}) \cdot \cos(\beta - \rho_t) \sin \delta}$ $B = \frac{\sin(\beta - \delta)}{\sin(\alpha - \delta) \cdot \sin \beta}$ $f = \frac{2 C_{tr} \cdot \cos \rho_{tr}}{f_0 (\operatorname{ctg} \delta - \operatorname{ctg} \alpha) \cdot \sin(\beta - \rho_{tr}) \cdot \sin \beta}$ $H_0 = \frac{2\alpha - f}{2\delta}$	f_0, ρ_{tr} Стр (для двух систем приложе- тий ослабле- ния)	Рис. 7 Рис. 4
УIII	Наличие двух (или более) систем поверхностей ослабления, одна из которых имеет падение в сторону выемки под углом δ (при этом $\delta < \alpha$), а другая - в сторону массива под углом φ	$H = m + \sqrt{m^2 + H_0(H_0 t + n - 2m)}$ $m = \frac{C_{tr} \cdot \cos \rho_{tr} \cdot \sin \alpha}{f_0 \cdot \sin(\alpha - \delta) \cdot \sin(\delta - \rho_{tr})}$ $n = \frac{2\delta \cdot \cos \rho_{tr}}{f_0 (\operatorname{ctg} \delta - \operatorname{ctg} \alpha) \sin(\delta - \rho_{tr}) \cdot \sin \varphi \cdot \sin(\varphi + \delta)}$ $t = \frac{\operatorname{ctg} \varphi + \operatorname{ctg} \delta}{\operatorname{ctg} \delta - \operatorname{ctg} \alpha}$ $H_0 = \frac{2m - n}{2t}$	$C_{tr}, \rho_{tr},$ f_0, δ, φ	Рис. 8 приложе- ния 3 Рис. 4

Продолжение табл. I

№ расчетных схем	Характеристика расчетных условий для определения предельной высоты устойчивого откоса	Последовательность расчетов (расчетные формулы)	Необходимые расчетные параметры	Примечания
IX	Откос различной крутизны (α) при благоприятном расположении поверхностей ослабления; угол между поверхностью откоса и направлением поверхностей ослабления более ($90 - \beta_{tr}$)	Последовательность расчетов приведена в приложении 4. Для ускоренных определений можно использовать график на рис. 5 (по имеющимся значениям H_{90} , ρ_{id} определяется $H' = \frac{H}{H_{90}}$)	$C, \rho, C_m,$ $\ell = \frac{l}{W}, C_{tr}, \beta_0$	Рис.1,2 приложе- ния 4 Рис.4
X	Откос различной крутизны (α) при благоприятном расположении поверхностей ослабления; угол между поверхностью откоса и направлением поверхностей ослабления менее ($90 - \beta_{tr}$)	Последовательность расчетов приведена в приложении 5. Для ускоренных определений можно использовать график на рис. 6 (искомая высота H определяется в зависимости от H_{90}, α , величины и направления угла падения поверхностей ослабления β) $tg A_y = \frac{\cos(A_2 + 90^\circ) \cdot ctg \beta_1 - \cos(A_1 + 90^\circ) \cdot ctg \beta_2}{\sin(\beta_1 + 90^\circ) \cdot ctg \beta_2 - \sin(\beta_2 + 90^\circ) \cdot ctg \beta_1}$	$C, \rho, C_m,$ $\ell = \frac{l}{W}, C_{tr},$ β_{tr}, β_0	Рисунок приложе- ния 5 Рис.4
XI	Откос различной крутизны (α) при наличии систем двух (или более) поверхностей ослабления, пересекающих поверхности откоса диагонально и имеющих линии взаимного пересечения, падающую в сторону откоса под углом (ψ)	$ctg \psi = \frac{ctg \beta_1}{\cos(A_\psi - (A_1 + 90^\circ))}$ $tg A_{t1} = \frac{\cos(A_2 + 90^\circ) \cdot ctg \beta_1 - \cos(A_1 + 90^\circ) \cdot ctg \alpha}{\sin(A_1 + 90^\circ) \cdot ctg \beta_1 - \sin(A_2 + 90^\circ) \cdot ctg \beta_2}$ $ctg t_1 = \frac{ctg \alpha}{\cos(A_t - (A_1 + 90^\circ))}$ $tg A_{t2} = \frac{\cos(A_0 + 90^\circ) \cdot ctg \beta_2 - \cos(A_2 - 90^\circ) \cdot ctg \alpha}{\sin(A_2 + 90^\circ) \cdot ctg \beta_1 - \sin(A_0 + 90^\circ) \cdot ctg \beta_2}$ $ctg t_2 = \frac{ctg \alpha}{\cos((A_0 + 90^\circ) - A_{t2})}$	$C_{tr}, \beta_0, \rho_{tr},$ $A_1, A_2, A_0,$ β_1, β_2, β	Рис.9 приложе- ния 3 β - угол наклона косогора Рис.4

Продолжение табл. I

№ расчетных схем	Характеристика расчетных условий для определения предельной высоты устойчивого откоса	П о с л е д о в а т е л ь н о с т ь р а с ч е т о в (расчетные формулы)	Необходи- мые рас- четные па- раметры	Примеча- ния
	меньшим, чем угол наклона откоса (объемное расположение поверхностей ослабления)	$\cos \lambda_1 = \sin t_1 \cdot \sin \psi + \cos t_1 \cdot \cos \psi \cdot \cos(A_\psi - A_{t_1})$ $\cos \lambda_2 = \sin t_2 \cdot \sin \psi + \cos t_2 \cdot \cos \psi \cdot \cos(A_\psi - A_{t_2})$ $H = \frac{c_1 c_{tp} \cos \rho_{tp} (\sin \lambda_1 + \sin \lambda_2 + \sqrt{m^2 + k^2 + 2m \cdot k \cdot \cos(A_\psi - A_{t_1}) \cdot \cos(A_\psi - A_{t_2})})}{\gamma_0 \Delta \sqrt{m} \sin(A_\psi - A_0) \sin(\psi - \rho_{tp})}$ $z = \frac{L \cos \psi \sin(A_\psi - A_0) - \frac{\epsilon \cos \beta}{\sin \psi}}{J - c \cos \psi \cdot \cos \beta \sin(A_\psi - A_0)}$ $\Delta = \sqrt{m + k + 2 \cos(A_\psi - A_0)} \cdot \sqrt{m \cdot k}$ $m = \frac{1}{\sin^2 t_1 + \frac{1}{\sin^2 \psi} - \frac{2 \cos \lambda_1}{\sin t_1 \cdot \sin \psi}}$ $k = \frac{1}{\sin^2 t_2 + \frac{1}{\sin^2 \psi} - \frac{2 \cos \lambda_2}{\sin t_2 \cdot \sin \psi}}$		
XII	Откос различной кругизны (α) при отсутствии выдержанных систем поверхности ослабления	Последовательность расчетов в этом случае та же, как и в расчетной схеме IX	$c, p, C_m, C_{tp}, \ell = \frac{L}{H}, \gamma_0$	Рис. 4

Продолжение табл. I

№ расчетных схем	Характеристика расчетных условий для определения предельной высоты устойчивого откоса	Последовательность расчетов (расчетные формулы)	Необходимые расчетные параметры	Примечания
XII	Откос различной крутизны (α) при возможности возникновения на поверхности его выветрелого слоя значительной мощности в условиях отсутствия денудации	Последовательность расчетов в этом случае аналогична расчетам в схеме IX. Для ускоренных определений предельной высоты устойчивого откоса можно использовать графики на рис. 5	$C_m = C$ ρ, γ_0	Рис. 4

Примечания.

1. Сдвиговые параметры по контактам более пологих поверхностей ослабления обозначены в номограммах для этих расчетных схем через C , ρ , γ_0 .

2. ρ – угол внутреннего трения в образце, град.;

ρ_{tr} – угол внутреннего трения по контактам поверхностей ослабления, град;

C – сцепление образца, T/m^2 ;

C_m – сцепление в массиве, T/m^2 ;

C_{tr} – сцепление по контактам поверхностей ослабления, T/m^2 ;

γ_0 – объемный вес, T/m^3 ;

G_p – сопротивление отрыву по системе трещин, наклоненных в сторону массива.

Высота проектируемого откоса не должна превышать ее значения, полученного расчетом.

2.3. Для расчетных схем I - УИ и XI (см.рис.4) в ЦНИИСе по специально разработанным программам на ЭВМ произведены вычисления для различных сочетаний практически встречающихся в природе значений расчетных параметров. Некоторые из полученных результатов, оформленные в виде номограмм, представлены в приложении 3.

Характеристика расположения поверхностей ослабления

2.4. В расчетных схемах, приведенных в табл. I, под благоприятным понимается следующее расположение поверхностей ослабления:

горизонтальное;

наклонное в сторону массива (затронутое);

вертикальное;

наклонное в сторону откоса под углом, меньшим σ_{tr} ;

расположение вкrest простирания с поверхностью откоса, за исключением случаев, когда поверхности ослабления пересекают поверхность откоса под углом, меньшим 30° , и одновременно имеют угол падения в направлении откоса, превышающий σ_{tr} .

2.5. Под неблагоприятным залеганием поверхностей ослабления понимается наклонное расположение их в сторону откоса под углом, превышающим σ_{tr} , а также расположение вкrest простирания с поверхностью откоса, когда поверхности ослабления пересекают поверхность откоса под углом, меньшим 30° , и одновременно имеют угол падения в направлении откоса, превышающий σ_{tr} .

Учет обводнения

2.6. Гидростатическое и гидродинамическое давление при расчетах оценки устойчивости откосов в легковыветривающихся скальных породах в большинстве случаев не учитывается, поскольку указанные породы, как правило, разбиты сис-

темами трещин и поэтому имеют пологую депрессионную кривую подпора [2, 9].

2.7. Учет гидростатического и гидродинамического давления рекомендуется осуществлять при наличии возможности повышения пьезометрического уровня воды вследствие частичной и полной закупорки трещин во внешней зоне откосов (например, из-за засыпки водоносных трещин льдом и т.п.).

2.8. Учет обводнения при расчете общей устойчивости откосов сводится к тому, что в уравнении равновесия призмы возможного обрушения учитывается уменьшение нормальной составляющей N_i веса блоков (которыми эта призма условно разбивается при расчете) на величину ΔN_i , равную

$$\Delta N_i = \ell_i D_i , \quad (I)$$

где

ℓ_i - длина поверхности обрушения на участке подтопленного блока;

D_i - величина гидростатического давления в середине основания каждого подтопленного блока ^I.

Последовательность выполнения расчетов общей устойчивости откосов

2.9. Общая последовательность расчетов при оценке устойчивости откосов выемок принимается следующей:

на основании имеющихся инженерно-геологических материалов, полученных в результате обследования массива, в котором проектируется откос, строят розу устойчивости, которая характеризует ориентацию поверхностей ослабления по отношению к проектируемому откосу и дает возможность выявить наиболее опасные их системы. В зависимости от сложности инженерно-геологических условий строят одну или несколько роз устойчивости откоса. Образец ее построения приведен в приложении 10.

^I По исследованиям Г.Л.Фисенко [2], суммарное влияние фильтрационного потока (гидростатическое взвешивание и гидродинамическое давление) на призму возможного обрушения проявляется как гидростатическое давление, распределенное по поверхности скольжения (в зоне обводнения), нормальное к ней и изменяющее только нормальную составляющую. На касательную составляющую водное давление существенного влияния не оказывает.

В зависимости от характера расположения поверхности ослабления по отношению к проектируемому откосу, выявленному после построения ров устойчивости, устанавливают наиболее опасный (с точкой зрения устойчивости) участок по длине проектируемого откоса и наименее опасные системы поверхности ослабления, располагающиеся неблагоприятно по отношению к откосу, которые должны быть учтены при выборе расчетной схемы;

с учетом расположения поверхностей ослабления выбирают расчетную схему в соответствии с указаниями табл. I и рис. 4;

определяют значения расчетных параметров в соответствии с указаниями, изложенными в разделе 4. Принятые значения прочностных параметров $C, \varphi, C_{tr}, \varphi_{tr}, C_m$ уменьшают на величину коэффициента запаса устойчивости K , который рекомендуется брать равным не менее 1,3, т.е.

$$\operatorname{tg} \varphi_{\text{расч}} = \frac{\operatorname{tg} \varphi}{K}, \quad C_{\text{расч}} = \frac{C}{K},$$

для принятой крутизны откоса, применительно к выбранной расчетной схеме, определяется предельная высота устойчивого откоса (по формулам, приведенным в табл. I или в приложениях 4 и 5, а также по nomogrammам в приложении 3 и на рис. 5 и 6);

если полученная расчетом высота устойчивого откоса H_p оказывается меньше проектной H_n , то производят пере-проектировку (изменение конфигурации) откоса и расчет повторяют до тех пор, пока не будет обеспечиваться условие, при котором $H_n \leq H_p$.

2.10. В случаях, когда инженерно-геологические условия удовлетворяют одновременно нескольким расчетным схемам, определение общей устойчивости осуществляется по каждой из них и за окончательный результат принимается тот, который дает наихудшее очертание откоса.

2.11. При наличии в откосе слабых прослоек, расположенных выше его подошвы, необходимо осуществлять дополнительную проверку общей устойчивости, ориентируясь на возможность прохождения линии обрушения через указанные прослойки (применительно к одной из схем, указанных в табл. I).

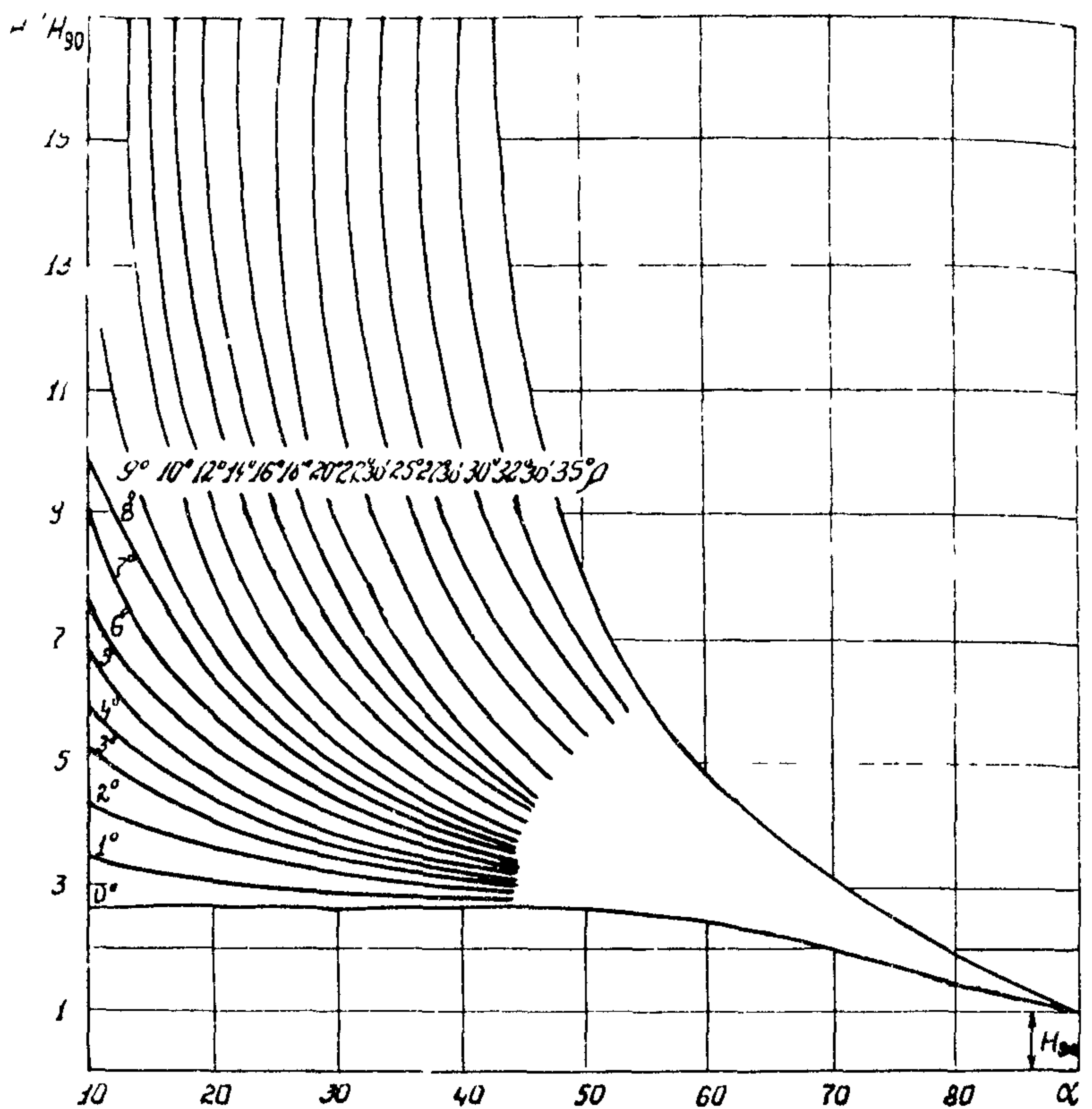


Рис. 5. Зависимость $\frac{H}{H_{90}}$ от угла наклона откоса (α) при разных значениях ρ .

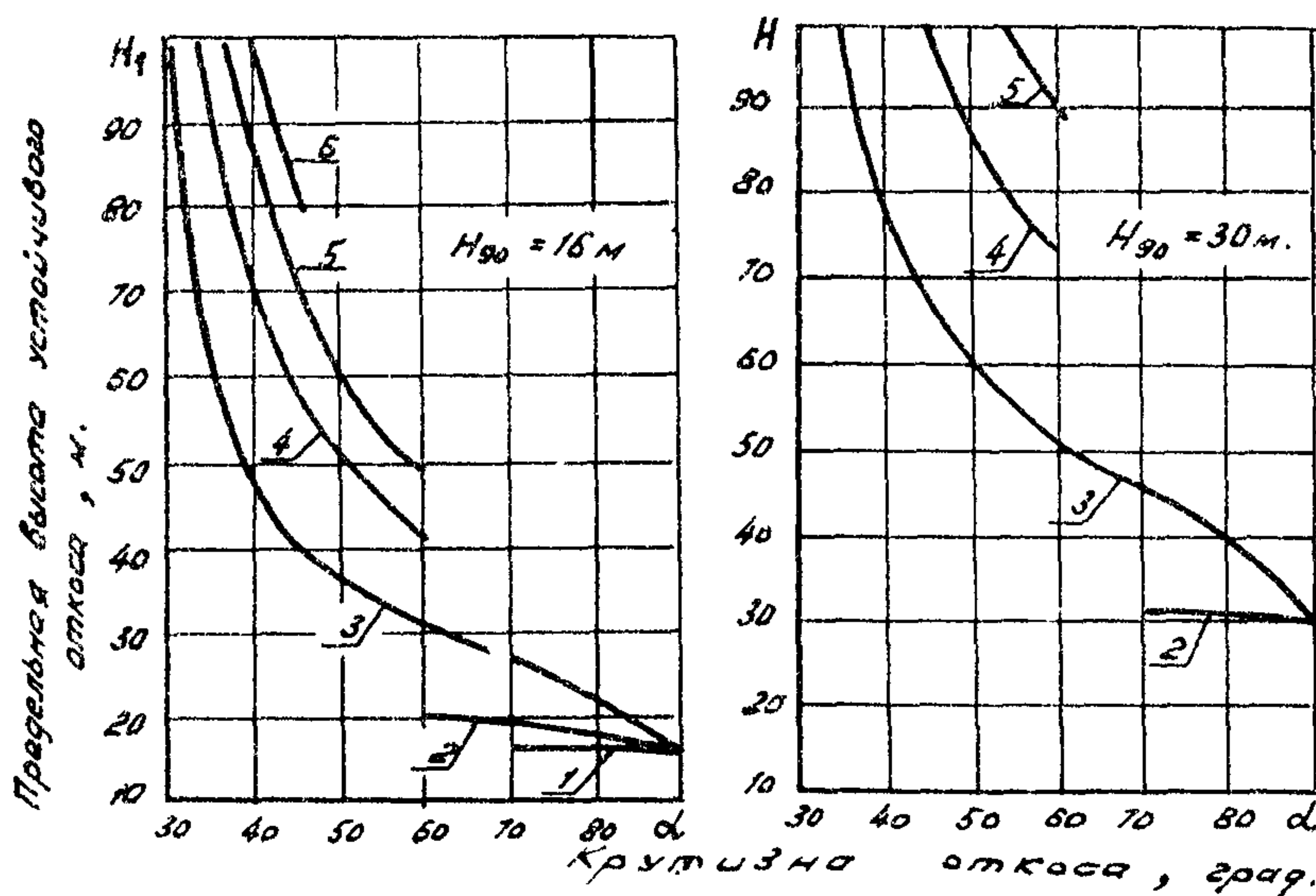


Рис. 6. Пределная высота устойчивого откоса при расчете по схеме X (для некоторых частных случаев):

1 - при $\beta = -30^\circ$; 2 - при $\beta = -20^\circ$;
 3 - при $\beta = -10^\circ$; 4 - при $\beta = 0^\circ$;
 5 - при $\beta = +10^\circ$; 6 - при $\beta = +20^\circ$

3. ОЦЕНКА МЕСТНОЙ УСТОЙЧИВОСТИ

Общие положения

3.1. Расчеты местной устойчивости производят для прогнозирования возможности возникновения деформаций (осыпей, спльзов, промоин) и интенсивности их проявления.

3.2. Для осуществления расчетов местной устойчивости легковыветривающихся скальных пород необходимо прежде всего классифицировать их по устойчивости к выветриванию.

По графику на рис. I определяется группа пород, слагающих откос, в соответствии с указаниями приложения I. Для этого на графике фиксируется положение эксперимен-

тально полученных значений отношения к переменному высушиванию и увлажнению рассматриваемой породы и устанавливается осредненное расположение экспериментальной кривой по отношению к линии средних значений указанного отношения в группе, к которой она отнесена.

С этой целью вычисляется соотношение

$$\frac{N_{\varphi}}{N_i^{cp}} = \frac{\sum_1^k (N_{\varphi k} - N_{ik}^{cp}) \cdot N_{ik}^{cp}}{\sum_1^k N_{ik}^{cp}}, \quad (2)$$

где

$N_{\varphi k}$ – количество циклов высушивания и увлажнения, при котором зафиксирован определенный процент потерь в весе исследуемых образцов;

N_{ik}^{cp} – количество циклов высушивания и увлажнения, соответствующее тому же проценту потерь в весе для линии средних значений отношения к переменному высушиванию и увлажнению в группе i ;

N_{i100}^{cp} – количество циклов высушивания и увлажнения, соответствующее 100% потерь в весе для линии средних значений выделенной группы;

K – количество сравниваемых значений процентов потерь в весе.

Пример практического использования формулы (2) для вычисления соотношения $\frac{N_{\varphi}}{N_i^{cp}}$ приведен в приложении 1.

3.3. Расчет местной устойчивости для пород I – III и IV–V групп проводится по двум принципиально различным методам, что обусловлено разной степенью раздробления пород этих групп в процессе выветривания. В то время как породы I – III групп выветриваются преимущественно до состояния каменисто-щебенисто-дрессияных фракций, породы IV–V группы – до состояния глинисто-шлеквато-песчано-дрессияных фракций. Помимо этого породы IV – V группы характеризуются повышенной интенсивностью выветривания во времени и отличаются значительной мощностью выветрелой зоны, в пределах которой в перспективе их можно считать рыхлыми грунтами. Поэтому на эти породы при расчетах

устойчивости (как общей, так и местной) можно распространить те же рекомендации, которые приняты для рыхлых грунтов.

Расчет местной устойчивости для юрод I - II группы

3.4. Расчет местной устойчивости для юрод I - II групп сводится к определению интенсивности поступления продуктов выветривания (объема осыпи) с единицы поверхности откоса и величины отступления бровки откоса во времени. При этом предполагается или периодически убирать продукты выветривания, или оставлять их у подошвы откоса, что влияет на методику расчета.

3.5. Последовательность расчетов при условии по-
риодической уборки продуктов выветривания следующая:

по графику, приведенному на рис. 3, для полученной по испытаниям на переменное высушивание и увлажнение группе юрод, вычисленной по формуле (2) величина соотношения $\frac{N_{\text{сп}}}{N_i}$ к исходной (заданной) крутизне откоса определяется величина интенсивности осипания рассмотриваемых пород $J_{\alpha\varphi}$ по выражению

$$J_{\alpha\varphi} = J_{\alpha i}^{cp} \cdot \frac{N_i^{cp}}{N_{\text{сп}}} , \quad (3)$$

где

$J_{\alpha i}^{cp}$ - среднее значение интенсивности осипания пород выделенной группы при заданной крутизне откоса α , $\text{м}^3/\text{м}^2 \text{ год}$;

по выражению (3) для рассматриваемых пород и на основании рис. 3 строится зависимость интенсивности осипания от крутизны откоса

$$J_{\alpha\varphi} = f(\alpha) ;$$

по полученному графику $J_{\alpha\varphi} = f(\alpha)$ определяют значения интенсивности осипания по мере уложения откоса и прежде всего - возможную интенсивность осипания в первый год после сооружения откоса заданной крутизны $J_{\alpha\varphi_1}$

условно принимая крутизну откоса в течение года неизменной, равной запроектированной или фактически полученной после разработки;

вычисляют полную длину λ_1 , образующей откоса в первый год его существования по выражению

$$\lambda_1 = \frac{H_1}{\sin \alpha_1} , \quad (4)$$

где

H_1 и α_1 – первоначальные (проектные или фактически полученные) значения высоты и крутизны откоса соответственно;

определяют объем осыпи с 1 пог.м длины откоса (вдоль подошвы) за первый год его существования ΔW_1^o по выражению

$$\Delta W_1^o = J_{\alpha_1} \cdot \lambda_1 . \quad (5)$$

Объем осыпи, накопившейся в течение первого года с 1 пог.м откоса, приводится к объему породы в плотном состоянии ΔW_1^m по выражению

$$\Delta W_1^m = \frac{\Delta W_1^o}{K_p} , \quad (6)$$

где

K_p – коэффициент разрыхления, который может быть принят равным 1,5;

вычисляют размер отступления бровки откоса выемки ℓ_{α_1} за первый год по выражению

$$\ell_{\alpha_1} = \frac{2 \Delta W_1^m}{H_1} ; \quad (7)$$

определяют новый (более пологий) угол наклона откоса после его годичного существования по выражению (рис. 7)

$$(\alpha_1 - \varepsilon_1) = \arccos \operatorname{ctg} (\operatorname{ctg} \alpha_1 + \frac{\ell_{\alpha_1}}{H_1}) , \quad (8)$$

где

ε_1 – величина угла наклона откоса за первый год его существования.

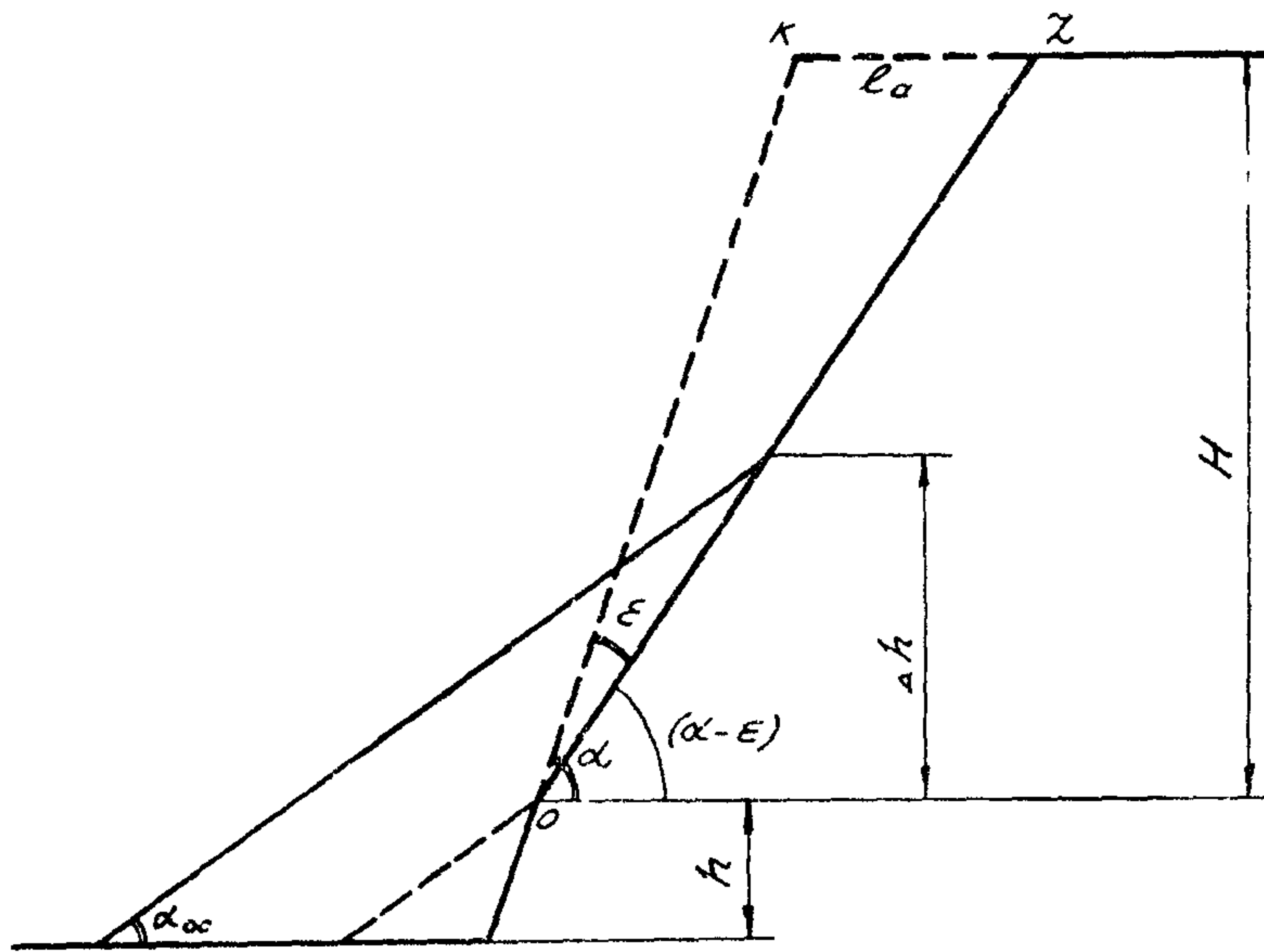


Рис.7. Схема к расчету положения откоса во времени (за счет осаждения продуктов выветривания)

Затем (для второго года эксплуатации) вычисления повторяют в той же последовательности при принятии в качестве исходного угла α , $-\varepsilon$, и т.д.

9.6. При оставлении осыпи у подошвы откоса выемки последовательность расчета поступления продуктов выветривания и величины отступания бровки откоса во времени принципиально остается такой же, какой она указана в п.3.5. Однако расчетная высота откоса, с которой возможно в последующем поступление продуктов выветривания, уменьшается на высоту осыпи, ежегодное возрастание которой Δh определяется по формуле [13]

$$\Delta h = -h + \sqrt{h^2 + \frac{\ell_a H K_p}{[\operatorname{ctg} \alpha_{0c} - \operatorname{ctg}(\alpha - \varepsilon)]}}, \quad (9)$$

где

- h — высота осыпи в предшествующем году (см.рис.7);
- α — крутизна откоса в предшествующем году;

t_{α} - величина отступания бровки откоса в рассматриваемом году;

H - расчетная высота откоса;

k_p - коэффициент разрыхления;

α_{oc} - угол наклона откоса осьми (ориентировочно $35-40^{\circ}$);

ε - величина угла наклона откоса в рассматриваемом году.

При наличии в пределах проектируемого откоса толщи переслаивающихся пород, имеющих различную устойчивость по отношению к выветриванию, целесообразно осуществлять построение графика $J_{\alpha\varphi} = f(\alpha)$ по описанному в п. 3.6 методу для каждой литологической разности, а в качестве расчетного для всего откоса принимать выражение $J_{\alpha\varphi} = f(\alpha)$, осредненное (взвешенное) по мощности переслаивающихся пород.

Расчет местной устойчивости для пород ГУ - У группы

3.7. Проверка местной устойчивости откосов в породах ГУ - У группы заключается в определении вероятности образования на них поверхностных сливков выветрелого до состояния мелкозема грунта, что оценивается величиной коэффициента местной устойчивости.

3.8. Последовательность расчетов местной устойчивости в этом случае принимается следующей:

для полученной по испытаниям на временные высушивание и увлажнение группе пород, по величине соотношения $\frac{N_{\varphi}}{N_{\varphi}^{cr}}$ и расчетного срока существования откоса t вычисляется мощность прогнозируемой зоны выветривания $m_{t\varphi}$ по выражению

$$m_{t\varphi} = m_{t_i}^{cr} \cdot \frac{N_i^{cr}}{N_{\varphi}}, \quad (10)$$

где

$m_{t_i}^{cr}$ - среднее значение мощности зоны выветривания выделенной группы i на расчетный срок существования откоса, m , определяемое по графику на рис. 2;

Оценивается местная устойчивость выветрелого слоя путем определения величины $K_{me\varphi}$ в условиях избыточ-

ногого увлажнения (возникающего, например, весной при оттаивании грунта, осенью и летом после затяжных или ливневых дождей) по формуле [14]

$$K_{местн} = B \left(\frac{\gamma_0 - 1}{\gamma_0} \cdot n \cdot \operatorname{tg} \varphi + \frac{AC}{\gamma_0 H} \right), \quad (\text{II})$$

где

$n = \operatorname{ctg} \alpha$ — заложение откоса;

γ_0 — объемный вес выветрелого грунта, Т/м³;

α — крутизна откоса, град;

φ — угол внутреннего трения выветрелого слоя грунта, град;

C — сцепление этого же грунта, Т/м²;

H — высота откоса, м;

A и B — безразмерные коэффициенты, определяемые в зависимости от отношения $\frac{h_p}{H}$ по специальным графикам в приложении 6;

h_p — глубина сини возникновения сполвообразования, принимается равной 0,4-0,8 м [14].*

4. ПРОЧНОСТНЫЕ ПАРАМЕТРЫ СКАЛЬНЫХ ПОРОД И МЕТОДЫ ИХ ОПРЕДЕЛЕНИЯ

Перечень параметров

4.1. Основными параметрами при расчетах общей устойчивости откосов являются: ρ , $\rho_{тр}$, C , C_m , $c_{тр}$ (значения параметров см. в табл. I).

4.2. Основными (дополнительно к указанным выше) параметрами при расчетах местной устойчивости легковыветривающихся скальных откосов являются:

J — интенсивность осипания $\text{с}_3 \text{ м}^2$ поверхности откоса различной крутизны, $\frac{\text{м}}{\text{год}}$;

K_p — коэффициент разрыхления, принятый в среднем равным 1,50.

* Расчет производится в той же последовательности, как и для откосов в солинчных (раках) грунтах в связи с указанными п. 4.3, а также то то при однодименсионном проектировании очертания откосов в породах Iу — у групп не следует делать круче 1:1,5 (см. изл. 5)

Численные значения σ и C

4.3. Для получения численных значений сцепления C и угла внутреннего трения σ легковыветривающихся скальных пород необходимо произвести соответствующие испытания образцов пород.

Эти испытания в основном сводятся или к сдвигу со сдвигом в наклонных матрицах по методике ВНИИИ [15], или же к раскалыванию пластин и раздавливанию образцов полуправильной формы, широко используемому в ИГД им. Скочинского [16].

По результатам проведенных испытаний строится так называемый паспорт прочности породы - зависимость напряжения сдвига от напряжения скатия (рис. 8). При использовании методики ВНИИИ паспорт прочности получается графоаналитическим путем [9, 15]. При раскалывании пластин и раздавливании образцов полуправильной формы применяют расчетный прием построения огибающей к предельным кругам напряжений Мора, разработанный М.М. Протодьяконовым [16, 17].

4.4. Значения C и σ при наличии паспорта прочности обычно определяют графически следующим построением [17] :

из начала координат проводят два луча под углами 30° и 50° к оси σ (см. рис. 8);

через точки пересечения лучей с огибающей проводят секущую;

отрезок, отсекаемый секущей на оси σ , считая от начала координат, дает величину C , а угол, образуемый ею с горизонталью, $-\sigma$.

Для получения достаточно надежных расчетных значений указанных параметров такие определения целесообразно выполнять с необходимой повторностью (не менее чем с трехкратной) и осуществлять статистическую обработку полученных результатов.

4.5. Ориентировочные значения расчетных величин угла внутреннего трения в образцах, отобранных в массиве для некоторых легковыветривающихся пород и переславших их литологических разностей, составляют, град.:

Аргиллиты ... 29 - 32
Алевролиты ... 31 - 38
Мергелии
глинистые 30

Мергелии
известковые ... 32

Песчаники 34-38

4.6. Приблизительное значение расчетных величин сцепления в образце можно определить двумя способами:

I) по выражению

$$C = \frac{\sigma_{ck}}{2} \operatorname{tg} \left(45 - \frac{\rho}{2} \right), \quad (12)$$

где

σ_{ck} - сопротивление образцов на одноосное скатие (с соотношением высоты к ширине, равным 1,5 ± 2:1);

2) по графику на рис. 9, на котором значение С берется в зависимости от относительной механической прочности, определяемой по динамическому пробнику, краткое описание и способ пользования которым приведены в приложении 7.

Определение ρ_{tp} и C_{tp}

4.7. Значения ρ_{tp} при отсутствии заполнителя по контактам поверхностей ослабления назначаются по таблице приложения 8 в зависимости от характера поверхностей ослабления. При возможности обводнения поверхностей контактов указанные в этой таблице значения ρ_{tp} уменьшаются на 2 - 4°.

4.8. При наличии заполнителя трещин расчетные значения ρ_{tp} принимаются по графику на рис. 10 в зависимости от влажности заполнителя и шероховатости стенок поверхностей ослабления.

4.9. Расчетные значения C_{tp} при отсутствии заполнителя назначаются по таблице приложения 9. При наличии заполнителя расчетные значения C_{tp} определяются по графику на рис. II в зависимости от влажности и характера заполнителя.

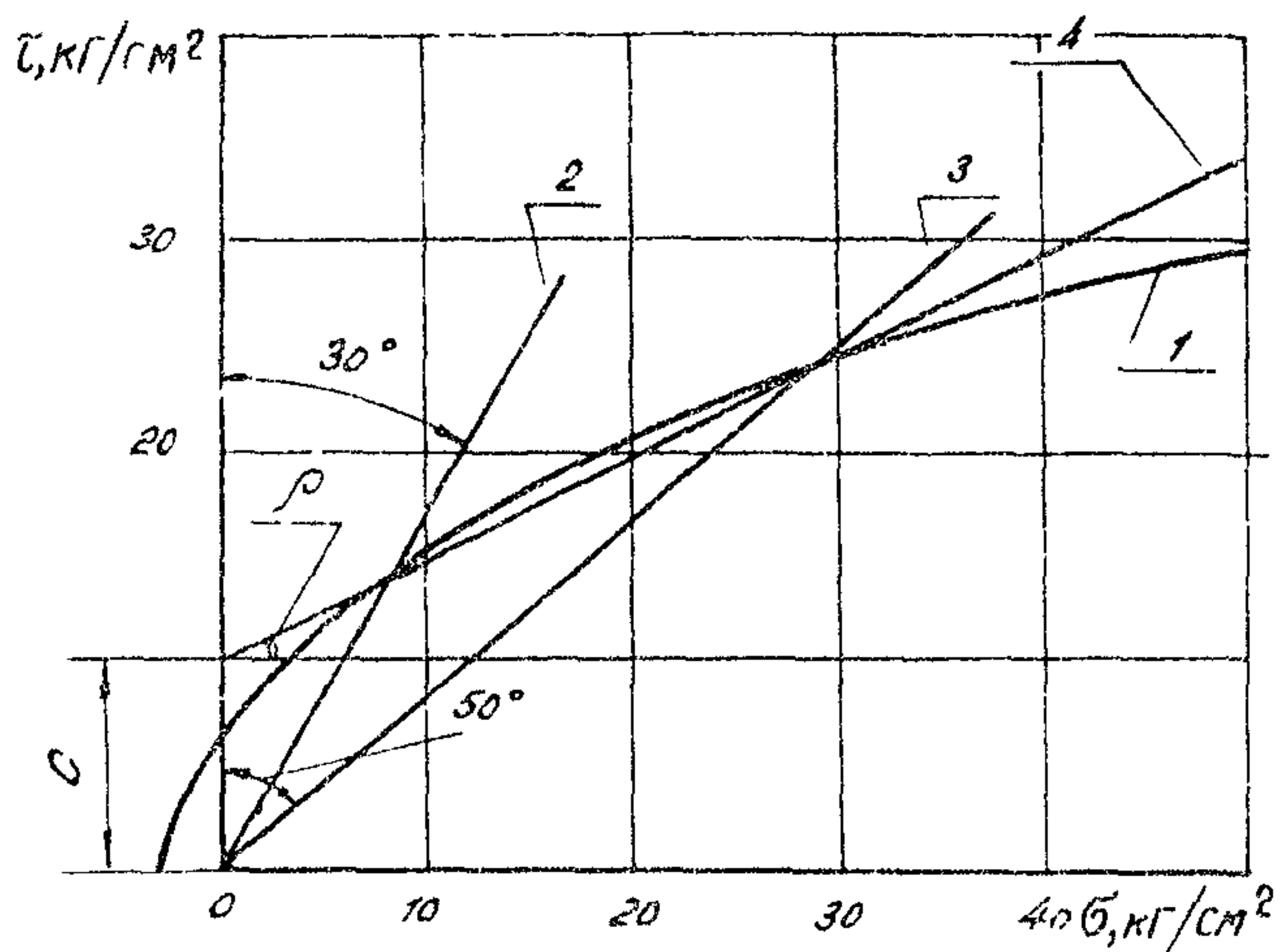


Рис. 8. Пример построения для получения значений σ и ρ в образце:

- 1 - паспорт прочности (огибающая к кругам Мора)
- 2 - луч под углом 30° к оси σ
- 3 - луч под углом 50° к оси σ
- 4 - секущая, проведенная через точки пересечения лучей с огибающей

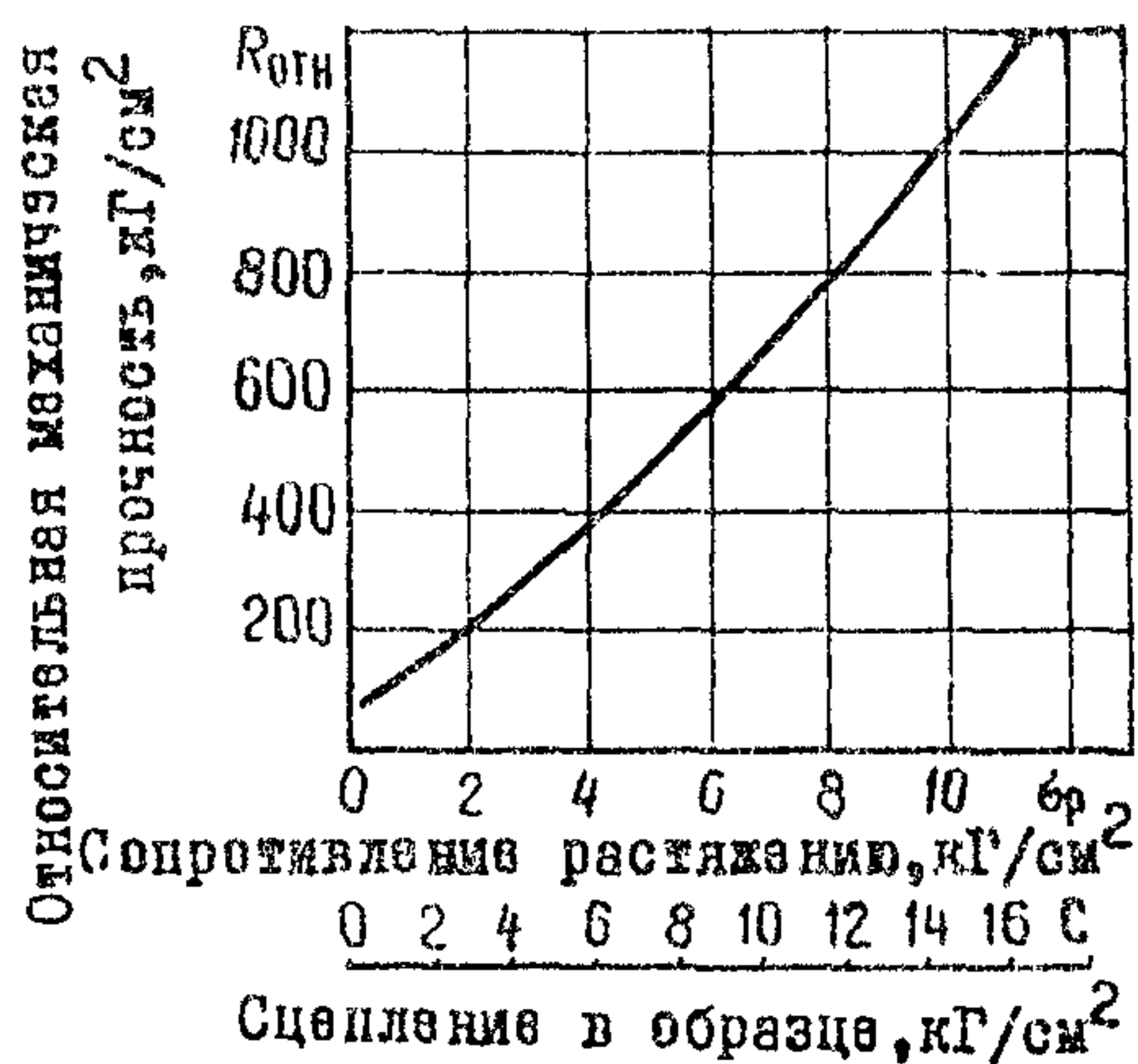


Рис. 9 Корреляционная зависимость $R_{0.1N}$ от σ (по данным ЦНИИСа)

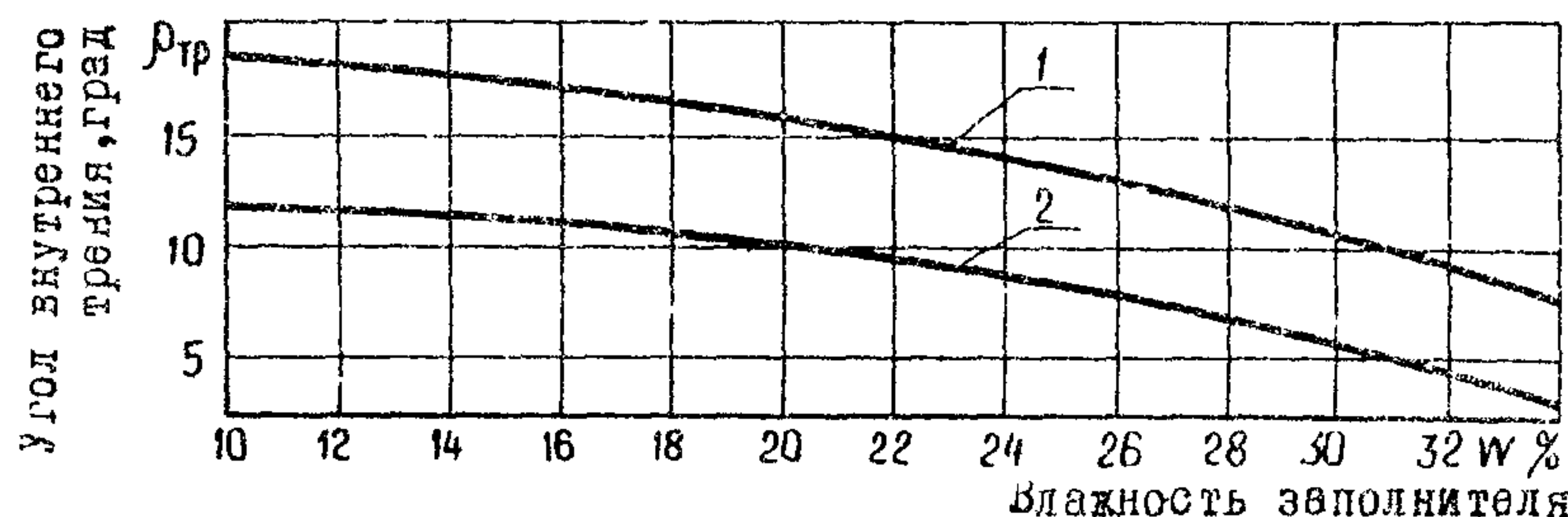


Рис. 10. Зависимость угла внутреннего трения по контактам поверхности ослабления ρ_{tr} от влажности заполнителя:

1 - поверхности ослабления шероховатые;

2 - поверхности ослабления гладкие

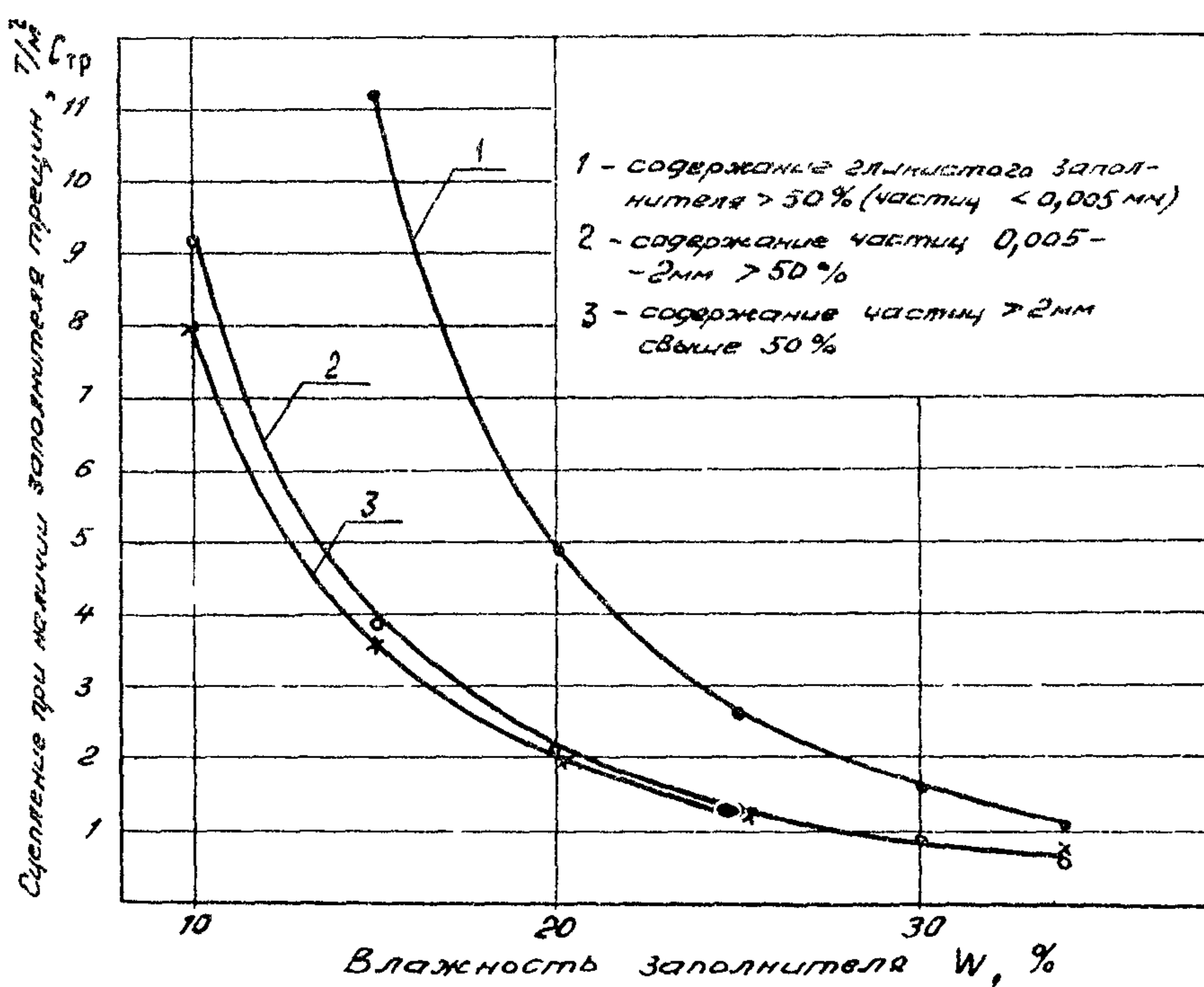


Рис. II. Зависимость сцепления по контактам поверхности ослабления C_{tr} при наличии заполнителя трение от влажности заполнителя

4.I0. При отсутствии сведений о заполнителе трещин, его влажности и шероховатости стенок поверхностей ослабления принимается наиболее неблагоприятное из реально возможных сочетаний расчетных параметров ρ_r и C_r , (т.е. поверхности считаются гладкими, допускается наличие заполнителя, учитывается возможность его увлажнения).

Угол внутреннего трения и сцепление в массиве

4.II. Значения угла внутреннего трения в массиве (при направлении поверхностей обрушения поперек к поверхностям ослабления) принимаются равными значениям угла внутреннего трения в образце, т.е. $\rho_m = \rho$.

4.I2. Сцепление в массиве C_m рекомендуется определять по формуле^I

$$C_m = C_{rp} + \frac{C - C_{rp}}{1 + a \ln\left(\frac{H}{\ell}\right)}, \quad (I3)$$

где

- C – сцепление в образце, T/m^2 ;
- H – проектная высота откоса, м;
- a – коэффициент, определяемый по графику на рис. I2 в зависимости от C^x ;
- C_{rp} – сцепление по контактам поверхностей ослабления, T/m^2 ;
- ℓ – осредненная блочность пород в массиве, м

$$\ell = \frac{1}{W}, \quad (I4)$$

где $W = \frac{1}{n} \left(\frac{1}{\ell_1} + \frac{1}{\ell_2} + \dots + \frac{1}{\ell_n} \right)$, $(I5)$
 $\ell_1, \ell_2 \dots \ell_n$ – средние расстояния между трещинами первой, второй и n^{th} систем, м.

I C_m целесообразно определять посредством опытных сдвигов в натурных условиях по имеющимся методикам [18, 19].

x График зависимости $a = f(C)$ построен по материалам полевых исследований ЦНИИСа и соответствует последним данным ВНИИ.

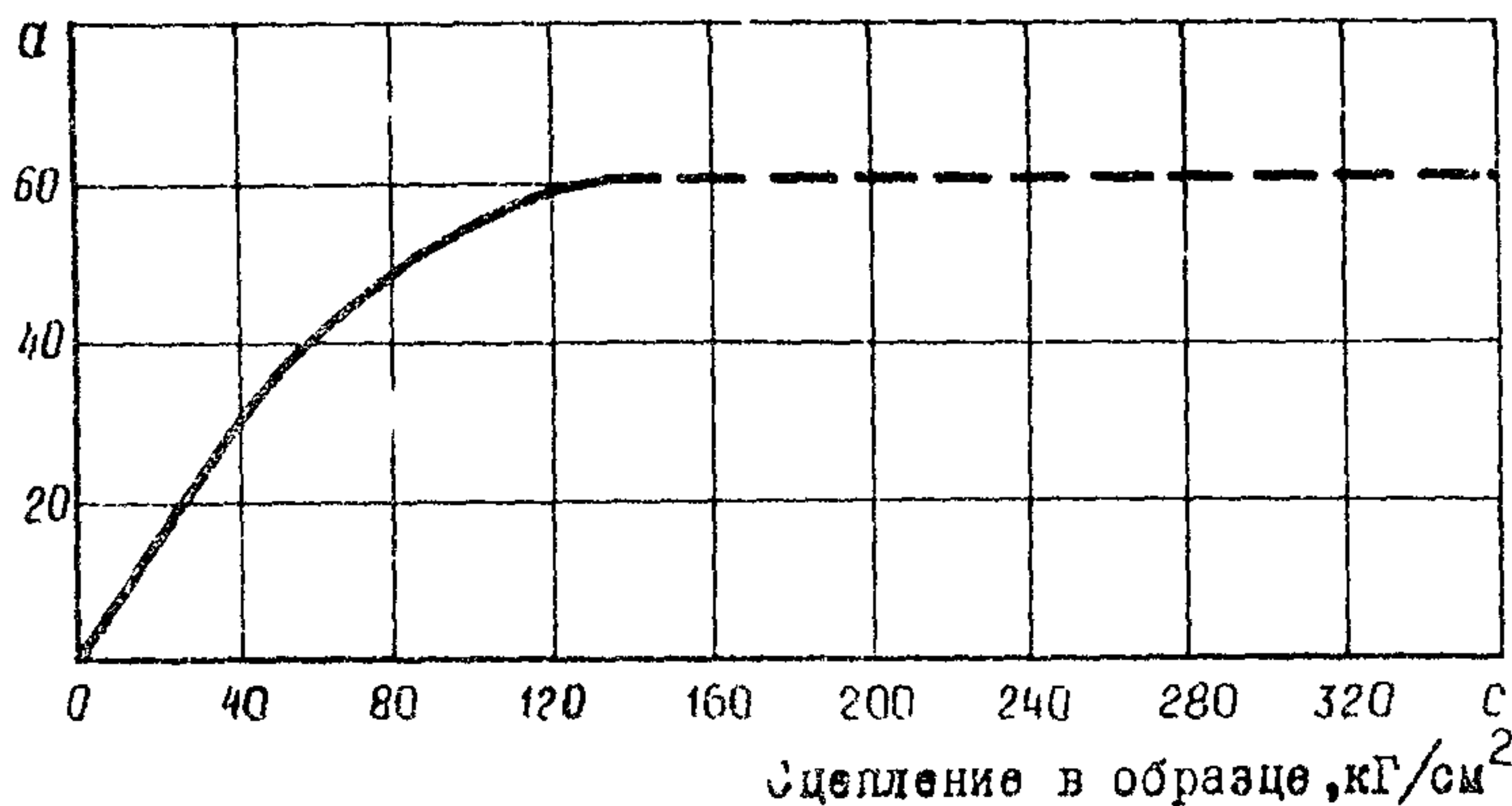


Рис. 12. Зависимость коэффициента α от величины сцепления в образце (по данным ДНИИСА)

Размер и форма элементарных структурных блоков определяются обычно тремя наиболее характерными системами трещин.

Некоторые особенности выбора расчетных параметров скальных пород

4.13. Очень различные литологические разности легко выветривающихся пород встречаются во всевозможных сочетаниях между собой и с переслаивающимися более прочными и устойчивыми к выветриванию породами. В связи с этим при расчетах по схемам I, IV, V, IX, X, XII, в которых поверхность обрушения на каком-либо участке пересекает крест поверхности ослабления, параметры принимаются или по наиболее слабым разновидностям пересекаемых пород (в запас безопасности), или средневзвешенными по мощности пересекаемых литологических разностей (что более правильно, но требует тщательных инженерно-геологических исследований).

4.14. При определении величины сдвиговых параметров для расчетов по схеме XII (использующейся для пород IV-V групп) необходимо учитывать возможность избыточного увлажнения грунта выветрелой зоны, мощность которой определяется в

соответствии с указаниями п.8.9. При выборе расчетных значений ρ и C следует использовать результаты сдвиговых испытаний паст, приготовленных из рассматриваемых пород. В этом случае $\rho = \varphi$ — углу внутреннего трения рыхлых грунтов.

4.15. При расчетах по схеме УИ сопротивление на разрыв по трещинам b_p обычно принимается равным нулю (в запас устойчивости).

4.16. Объемный вес пород γ_0 определяют по справочникам [20] или по данным лабораторных определений согласно выражению

$$\gamma_0 = \frac{\rho}{W} \quad ,$$

где

ρ — вес образца, г;

W — объем образца, см³.

При этом объем образцов неправильной формы может быть определен измерением объема вытесненной воды при погружении в нее образца. Перед погружением в воду образцы неводостойких пород следует покрывать тонкой водонепроницаемой пленкой (например, клеем БФ и т.п.).

5. ВОЗМОЖНЫЕ ТИПОВЫЕ И ИНДИВИДУАЛЬНЫЕ РЕШЕНИЯ

Общие принципы проектирования откосов

5.1. При установлении рациональных очертаний откосов выемок можно исходить из двух основных принципов:

- 1) обеспечения общей и местной устойчивости;
- 2) обеспечения общей устойчивости с одновременным, частичным допущением осипей, вызванных нарушением местной устойчивости (при соответствующем технико-экономическом обосновании целесообразности такого решения, методика осуществления которого приведена в приложении 2).

5.2. Возможны следующие конструктивные решения, применительно к типовому и индивидуальному проектированию:

ислогие откосы крутизной, равной углу естественного откоса образующихся на них продуктов выветривания ($I:I,25-I:I,5$) с кибетом, известной полкой или кибет-трашней;

крутье откосы (в пределах $I:0,5 - I:I$) с кибет-трашней для сбора продуктов выветривания, поступающих с откоса, или с улавливающей стеной, выполняющей те же функции;

крутье откосы с хвостом или ячейкой при защите откосов от выветривания какими-либо покрытиями;

крутье откосы (вплоть до вертикальных) с широкими полками, рассчитанными на размещение продуктов выветривания в процессе всего периода существования откоса до его самоуполномочия на всю высоту;

комбинированные конструктивные решения:

откосы ломаного очертания (выпуклого или загнутое - в зависимости от состава пород и их расположения по высоте откоса);

задищенные от выветривания участки по высоте и длине откосов, чередующиеся с неукрепленными, и др.

5.3. Выбор конструкции откоса определяется степень общей и местной устойчивости слагающих его пород, высотой проектируемого откоса и технико-экономическими показателями.

Типовое проектирование

5.4. Сфера типового проектирования для различных групп пород, с указанием конструктивных особенностей типовых решений, приведены в табл. 2.

Т а б л и ц а 2

Группа пород по степени устойчивости к выветриванию	Условия применения типового проектирования	Конструктивные особенности типовых решений
У - IУ	Благоприятное расположение поверхностей ослабления. Высота Н не выше 12м	Крутизна откоса 1:1,5. Откосы укрепляются травосеянием по слою растительного грунта. При высоте откоса $H \leq 6\text{м}$ у подошвы его устраивается кювет и заковетная полка шириной 1 м. При $6 < H \leq 12\text{м}$ у подошвы откоса устраивается кювет-траншея шириной 3 м, глубиной 0,6 м, с откосами 1:1,5
III - II	Благоприятное расположение поверхностей ослабления. Высота откоса Н не выше 16 м	Крутизна откоса 1:1,25. При высоте откоса $H \leq 6\text{м}$ у подошвы его устраивается кювет и заковетная полка шириной 1м. При $6 < H \leq 16\text{м}$ у подошвы откоса устраивается кювет-траншея шириной 3 м, глубиной 1,1м, с откосами 1:1,25
I	Такие же, как для пород III - II групп	Крутизна откоса 1:0,5-1:1. У подошвы откоса устраивается кювет-траншея шириной не менее 3 м, глубиной 1,1м с откосами: со стороны пути 1:1; с противоположной стороной равными крутизне откоса выемки

Примечание. В элювально-делювиальном слое заложение откосов во всех типовых конструкциях принимается не круче 1:1,5.

Индивидуальное проектирование

5.5. Область индивидуального проектирования охватывает все сочетания инженерно-геологических и проектных условий, выходящие за рамки типового проектирования (неблагоприятное расположение поверхностей ослабления, высота откосов более 12-16 м, наличие обводнения и др.).

5.6. При индивидуальном проектировании очертание откосов определяют, исходя из необходимости обеспечения их общей устойчивости, и уточняют на основании оценки местной устойчивости - без возможности выбора оптимальной в технико-экономическом отношении конфигурации их (в соответствии с приложением 2). Для город У-1У групп очертания откосов не следует назначать круче 1:1,5.

5.7. При индивидуальном проектировании выемок следует учитывать, что по технико-экономическим показателям предпочтительнее других конструктивных решений могут быть:

крутые откосы (плоть до вертикальных) с уширениями полками, рассчитанными на размещение пролетов выемки при самоуположении откосов, - для выемок высотой 6-8 м и полувыемок на косогорах не круче 1:2;

крутые откосы с граниами у подошви - для прорезных выемок большой глубины и полувыемок на крутых косогорах;

крутые откосы, усиленные защитным покрытием, - для полувыемок на косогорах при значительной стоимости разработки скальных пород.

6. ХАРАКТЕР И ОБЪЕМ ИНЖЕНЕРНО-ГЕОЛОГИЧЕСКИХ ИССЛЕДОВАНИЙ

6.1. Полный комплекс инженерно-геологических обследований, необходимых для оценки общей и местной устойчивости откосов выемок в легковыветривающихся скальных породах, включает в себя определение следующих показателей:

каменование пород, их размещения и процентного содержания в пределах проектируемого откоса;

ориентации поверхностей ослабления;
генеалогии поверхностей ослабления;
качественной характеристики трещиноватости (характера заполнения трещин, степени шероховатости стенок, обводнения, изменчивости трещин в зависимости от пересечения различных литологических разностей, протяженности и выдержанности направлений трещин);

количественной оценки трещиноватости (числа трещин каждой системы, приходящихся на 1 пог.м в направлении, перпендикулярном плоскости трещин, определение блочности по формуле (15));

объемного веса γ_0 ;

сопротивления одноосному сжатию $b_{\text{ож}}$;

сцепления и угла внутреннего трения в монолите (образце) C и ρ ;

сцепления с учетом структурного ослабления в массиве C_m ;

сцепления и угла внутреннего трения по контактам поверхности ослабления C_{tr} и ρ_{tr} ;

отноения к переменному высушиванию и увлажнению.

Методы осуществления различных видов инженерно-геологических обследований приведены в соответствующих пособиях и методических указаниях [21, 22, 23].

Сведения о способах определения механических характеристик дамб также в разделе 4 настоящей работы.

6.2. Объем инженерно-геологических обследований применительно к конкретным расчетным схемам может быть значительно сокращен по сравнению с полным комплексом, приведенным в п.6.1.

Перечень необходимых определений из указанного комплекса при различных расчетных схемах оценки устойчивости (с учетом необходимости оценки местной устойчивости) приведен в табл.3.

6.3. Некоторые инженерно-геологические характеристики можно уточнять в процессе разработки высоток. Если при этом выявится несоответствие первоначально принятым условиям, то необходима дополнительная проверка устойчивости откосов и корректировка проектных решений.

Таблица 3

расчетные схемы и предварительные условия	П е р е ч е н и ъ Н а и м е н о в а н и е п о р о д и ю х с о д е р ж а н и е в о т к о с е , %	н e o b x o d i m y x o p r e d e l e n i j z									С т и к к и к п е- р е м ен н о й в и с у е з- д ен и ю и умлажен ию
		г _o	б _ж	Ориентация тре- щин в пространст- ве, их генезис и качественная оцен- ка	Коли- чество- енная оценка трещин	с	ρ	с _m	с _{tp}	β _{tp}	
Схема I б _{жк} > 400 кГ/см ²	+	-	+	+	+	-	-	-	-	-	+
б _{жк} < 400 кГ/см ²	+	+	+	+	+	+	+	+	+	+	+
Схема II	+	+	-	-	+	-	-	-	-	-	+
Схема III	+	+	-	-	+	-	-	-	-	-	+
Схема IV б _{жк} > 400 кГ/см ²	+	-	+	-	+	-	-	-	-	-	+
б _{жк} < 400 кГ/см ²	+	+	+	+	+	+	+	+	+	+	+
Схема V б _{жк} > 400 кГ/см ²	+	-	+	-	+	-	-	-	-	-	+
б _{жк} < 400 кГ/см ²	+	+	+	+	+	+	+	+	+	+	+
Схема VI	+	+	-	-	+	-	-	-	-	-	+
Схема VII	+	+	-	-	+	-	-	-	-	-	+
Схема VIII	+	+	-	-	+	-	-	-	-	-	+
Схема IX б _{жк} > 400 кГ/см ²	+	-	+	-	+	-	-	-	-	-	+
б _{жк} < 400 кГ/см ²	+	+	+	+	+	+	+	+	+	+	+
Схема X б _{жк} > 400 кГ/см ²	+	-	+	-	+	-	-	-	-	-	+
б _{жк} < 400 кГ/см ²	+	+	+	+	+	+	+	+	+	+	+
Схема XI	+	+	-	-	+	-	-	-	-	-	+
Схема XII	+	+	-	-	+	-	-	-	-	-	+
Схема XIII	+	+	-	-	-	-	-	-	-	-	+

- Примечания. 1. Знак "+" показывает необходимость выполнения определений, с знаком "минус" - отсутствие такой необходимости.
2. При $b_{jk} > 400 \text{ кГ/см}^2$ (что соответствует примерно $C > 100 \text{ кГ/см}^2$) при благоприятном расположении поверхностей ослабления откосы устойчивы при $E \leq 60 \text{ к}$.

Приложение I

МЕТОДИКА КЛАССИФИКАЦИИ ПОРОД ПО СТЕПЕНИ УСТОЙЧИВОСТИ К ВЫВЕТРИВАНИЮ

Отбор образцов

Из участков массива, прорезаемого откосом выемки (проектируемой или существующей), отбирают образцы пород произвольной формы весом от 100 до 300 г каждый.

Образцы отбирают из подошвенной, средней и верхней частей откоса в количестве не менее трех по каждому из поперечников (при наличии однородного сложения толщи). Расстояние между поперечниками, в случае выдержанности элементов залегания пород, принимается равным 150-200 м. При изменчивости и невыдержанности элементов залегания расстояние между поперечниками уменьшается до 25-50 м.

В случае переслаивания различных пород по высоте проектируемого откоса образцы отбирают из каждой литологической разности.

Отбор образцов осуществляется из кернов или из обнажения пород.

Испытание образцов

При испытании отобранных образцов на высушивание-увлажнение их ставят в фарфоровых или стеклянных чашках в сушильный шкаф и выдерживают при температуре 105⁰С примерно 7-8 ч. Затем их вынимают из шкафа, взвешивают и заливают водой, в которой выдерживают не менее 7-8 ч.

После слива воды через фильтр (чтобы задержать мелкие частицы) образцы вновь ставят в сушильный шкаф^I. Далее процесс (циклический) повторяется.

I При отсутствии сушильного шкафа процесс высушивания при испытании можно осуществлять в лабораторных условиях (при комнатной температуре). При этом целесообразно увлажненную породу рассыпать на бумагу или металлический лист и т. п.), что ускоряет просушивание.
Длительность процесса высушивания в этом случае составляет не менее 15 ч.

После определенного числа циклов (3 - 5) следует производить просев образцов через сито с ячейками 10 мм (с водой или в сухой состоянии). Промежутие через сито частицы высушивали (в случае просевания с водой) и взвешивают с точностью до 0,01 г.

Затем вычисляют потерю в весе исследуемого образца, которая равняется отношению веса частиц, промежутий через сито с ячейками 10 мм, к первоначальному весу образца (в процентах). Общее количество циклов испытаний определяется степенью устойчивости исследуемой породы к высушиванию-увлажнению. При неустойчивых породах достаточно ограничиться несколькими циклами, чтобы получить потери образцов в весе, достигающие 100%. В устойчивых породах потери в весе, равной 100%, может вообще не наступить, поэтому в этих случаях испытания можно ограничить 30-40 циклами.

Обработка результатов

По потерю образцов в весе, в зависимости от количества циклов высушивания-увлажнения, строится график в координатах $Q = f(n)$,

где Q - потеря образцов в весе, % ;
 n - количество циклов высушивания и увлажнения.

Полученная зависимость сопоставляется (сравнивается) с графиком, приведенным на рис. I настоящих Методических указаний; определяется группа пород по степени устойчивости к выщериванию. При этом необходимо определить также положение полученной зависимости по отношению к линии средних значений потерь в весе рассматриваемой группы по соотношению

$$\frac{N_{\Phi}}{N_i^{cp}} = \frac{\sum_{i=0}^k (N_{\Phi i} - N_{i0}^{cp}) N_{i0}^{cp}}{\sum_{i=0}^k N_{i0}^{cp}}, \quad (I)$$

где $n_{i,100}^{cp}$ - количество циклов, соответствующее 100% потерь для линии средних значений группы. Применительно к I и II группам пород по рис. I в разделе I вместо $n_{i,100}^{cp}$ принимается количество циклов, соответствующее наибольшему значению потерь, показанному на графике;

n_{fk} - количество циклов высушивания и увлажнения, при котором зафиксирован определенный процент потерь в весе исследуемого образца;

n_{ik}^{cp} - количество циклов высушивания и увлажнения, соответствующее тому же проценту потерь в весе для линии средних значений в группе I (см. рис. I в разделе I);

k - количество сравниваемых значений процентов потерь в весе образца (Q_{ik}).

Пример

В результате проведения опытов на высушивание и увлажнение с какой-либо породой получена следующая зависимость: $Q = f(n)$

n_{fk}	4	8	12	16	20	24
Q_{ik}	5	10	40	60	70	80

После сопоставления этой зависимости с графиком на рис. I можно заключить, что исследуемая порода относится к III группе. Полученным из опыта значениям процентов потерь в весе соответствует следующее количество циклов n_{III}^{cp} по линии средних значений Q_{III} :

n_{III}^{cp}	3	6	13,5	16,3	17,6	19,2
Q_{III}	5	10	40	60	70	80

По указанной выше формуле (I) находим отношение $\frac{N_{\Phi}}{N_{I}^{cp}}$. В рассматриваемом примере $\chi = 6$ (шесть сравниваемых величин процентов потерь породы в весе при просеивании через сито 10 мм: 5, 10, 40, 60, 70, 80%); $n_{III,100}^{cp} = 22$ цикла

$$\frac{N_{\Phi}}{N_{III}^{cp}} = \frac{22 + \frac{(4-3)/3 + (8-6)/6 + (12-13,5)/13,5 + (16-16,3)/16,3 + (20-17,6)/17,6 + (24-19,2)/19,2}{3+6+13,5+16,3+17,6+19,2}}{22} =$$

$$= \frac{22 + \frac{124,1}{75,6}}{22} = \frac{22 + 1,65}{22} = \frac{23,65}{22} = 1,08.$$

Второй член чисителя в формуле для определения $\frac{N_{\Phi}}{N_{\text{ср}}}$ (в нашем примере он равен +1,65) показывает, на сколько сместится экспериментальная зависимость $Q = f(n)$ от линии средних значений. В рассматриваемом случае она сместится правее линии средних значений $Q_{\text{ср}}$. При этом сдвиг вправо составит в среднем 1,65 цикла (т.е. $1,65n$) в каждой сравниваемой точке, что можно использовать при нанесении осредненного очертания полученной опытной кривой зависимости $Q = f(n)$. Если бы этот член получился отрицательным, то осредненное очертание экспериментальной зависимости сместились бы левее линии средних значений $Q_{\text{ср}}$ на соответствующую величину циклов. Таким образом, если $\frac{N_{\Phi}}{N_{\text{ср}}} > 1$, то экспериментальная зависимость пройдет правее от линии средних значений, если $\frac{N_{\Phi}}{N_{\text{ср}}} < 1$ — то левее; при $\frac{N_{\Phi}}{N_{\text{ср}}} = 1$ экспериментальная зависимость совпадает с линией средних значений.

Для определения интенсивности осыпания следует J_{II} (см. рис. 2) разделить на полученное соотношение, т.е. умножить на отношение $\frac{N_{\Phi}}{N_{\text{ср}}} = \frac{1}{1,08} = 0,925$.

Аналогичным образом это соотношение используется при определении мощности коры выветривания (применительно к M_{II} на рис. 3).

Приложение 2

МЕТОДИКА НАХОЖДЕНИЯ ОПТИМАЛЬНОГО ОЧЕРТАНИЯ ОТКОСОВ ВНЕМОК

При назначении оптимальных в технико-экономическом отношении очертаний откосов следует исходить из условий обеспечения их общей устойчивости и такого сочетания строительных и эксплуатационных расходов, которые бы (с учетом удаленности затрат) были минимальными.

Чем круче запроектированы откосы (при сохранении их общей устойчивости), тем меньше строительная стоимость разработки выемки, но тем больше затраты, связанные с необходимости уборки осипающихся продуктов выветривания в процессе эксплуатации.

Для возможности сопоставления суммарных строительных и эксплуатационных затрат в рассматриваемых вариантах с учетом удаленности во времени рекомендуется сравнивать так называемые приведенные расходы, определяемые по формуле [24]

$$\Sigma_{np} = \sum_0^{t_c} \frac{K_t}{(1+E_{np})^t} + \sum_1^{t_c} \frac{Z_t}{(1+E_{np})^t}, \quad (1)$$

где Σ_{np} — приведенные суммарные строительные и эксплуатационные расходы;

K_t и Z_t — соответственно капиталовложения и эксплуатационные расходы в соответствующем году t ;

$\frac{1}{(1+E_{np})^t}$ — коэффициент приведения (отдаленности), учитывающий уменьшение значимости затрат, совершаемых через t лет;

t_c — год, ограничивающий период суммирования расходов по рассматриваемым вариантам;

E_{np} — норматив для приведения разновременных затрат, установленный в размере 0,08 [25]

В общую сумму затрат по указанной формуле включаются и первоначальные капиталовложения (как затраты первого

этапа), условно относимые к иудевому году эксплуатации, т.е. прижимаемые с коэффициентом приведения, равным 1.

При рассмотрении приведенных расходов применительно к скользким выемкам под капитальными затратами понимается строительная стоимость сооружения 1 пог.м продольной длины выемки, а эксплуатационные расходы складываются из стоимости уборки осипающихся продуктов выветривания с 1 пог.м длины откосов (вдоль выемки).

Период суммирования приведенных затрат ограничивается двадцатью годами. При этом интенсивность осипания продуктов выветривания с откосов заданной крутизны и интенсивность отступания бровки откосов выемки (степень расположения откосов во времени) подсчитывают при сравнении вариантов в соответствии с рекомендациями, изложенными в разделе 3.

По указанной методике производится сравнение различных конструктивных вариантов (в том числе откосов, защищенных от выветривания различными покрытиями, откосов с универсальными полками, рассчитанными на самоустановление их и размещение продуктов выветривания в процессе эксплуатации и др.).

Приложение 3

НОМОГРАММЫ ДЛЯ ОЦЕНКИ ОБЩЕЙ УСТОЙЧИВОСТИ
ОТКОСОВ ВЫЕМОК

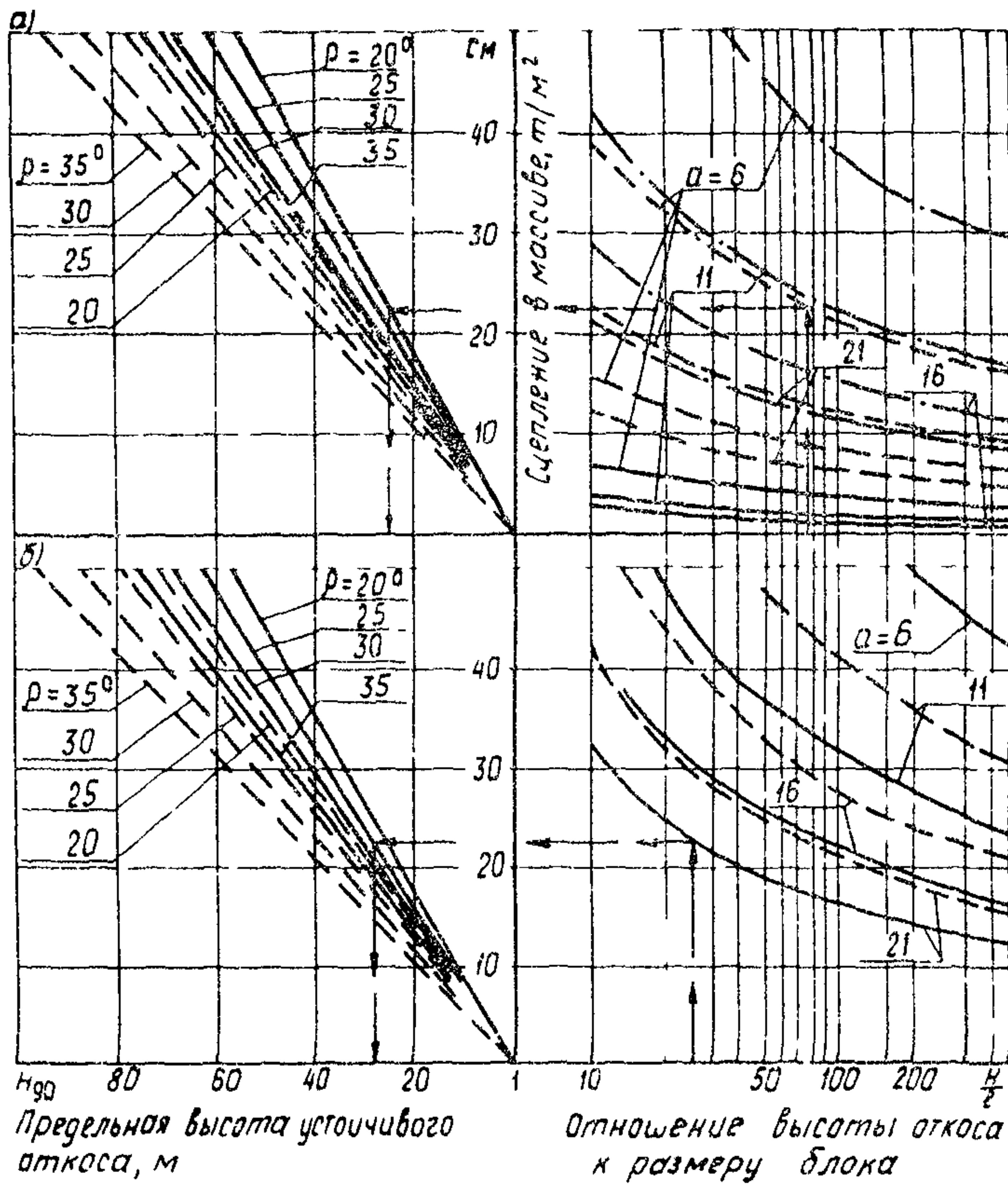


Рис. I. Номограммы для определения предельной высоты устойчивого вертикального откоса при благоприятном расположении поверхностей ослабления (расчетная схема I):

а — $C = 100 \text{T/m}^2$; $C = 600 \text{T/m}^2$;
 $C = 1100 \text{T/m}^2$;

б — $C = 1600 \text{T/m}^2$; $C = 2100 \text{T/m}^2$;
 $\gamma_{\text{об}} = 2,5 \text{ T/m}^3$; $\gamma_{\text{об}} = 2,0 \text{ T/m}^3$

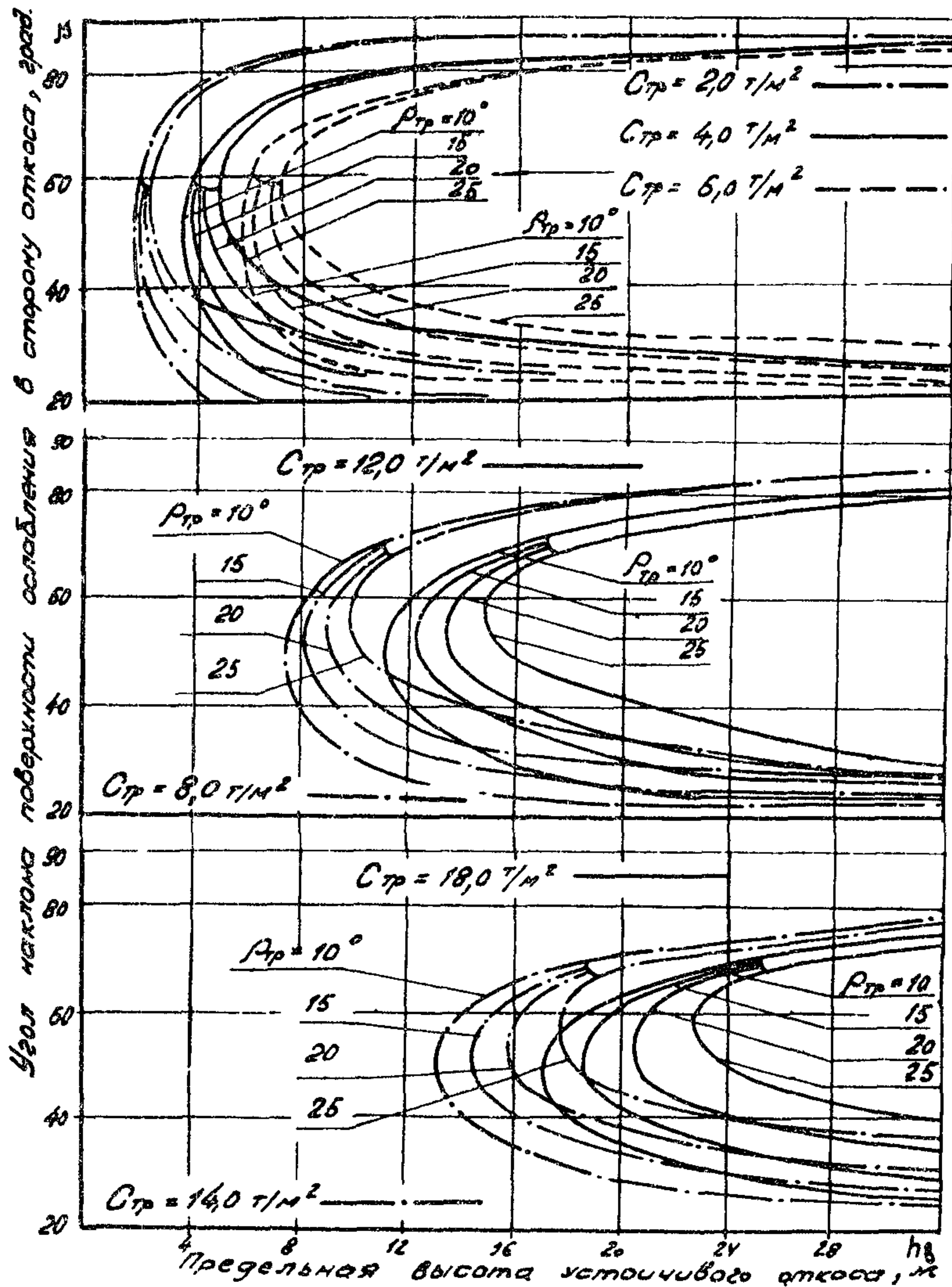


Рис. 2. Номограммы для определения предельной высоты устойчивого вертикального откоса при неблагоприятном расположении поверхностей ослабления /расчетная схема II/

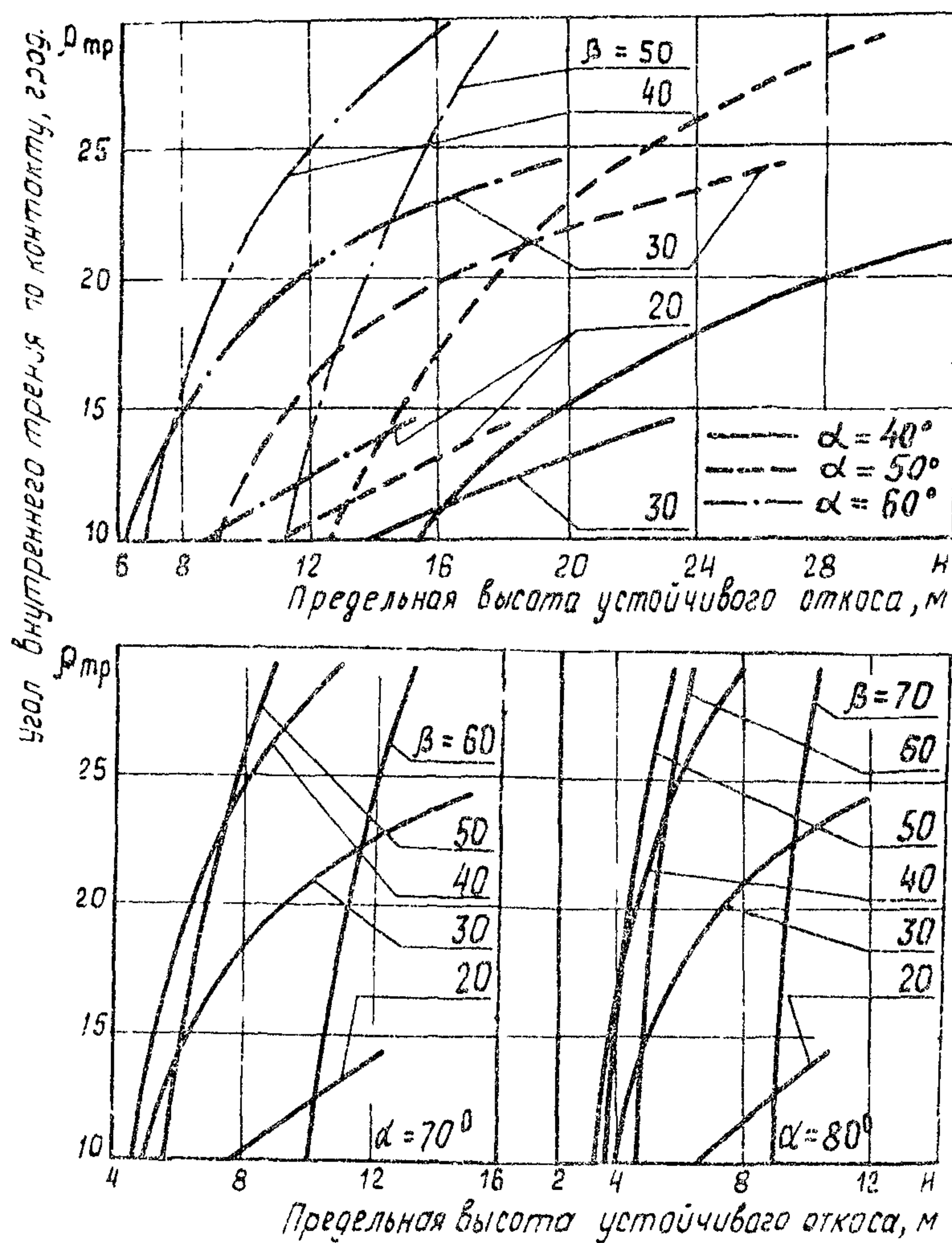


Рис. 3. Номограммы для определения предельной высоты устойчивого откоса различной крутизны при неблагоприятном расположении поверхности ослабления расчетная схема III:

$$\tau_p = 2 \text{ T/m}^2; \quad \gamma_0 = 2,5 \text{ T/m}^3$$

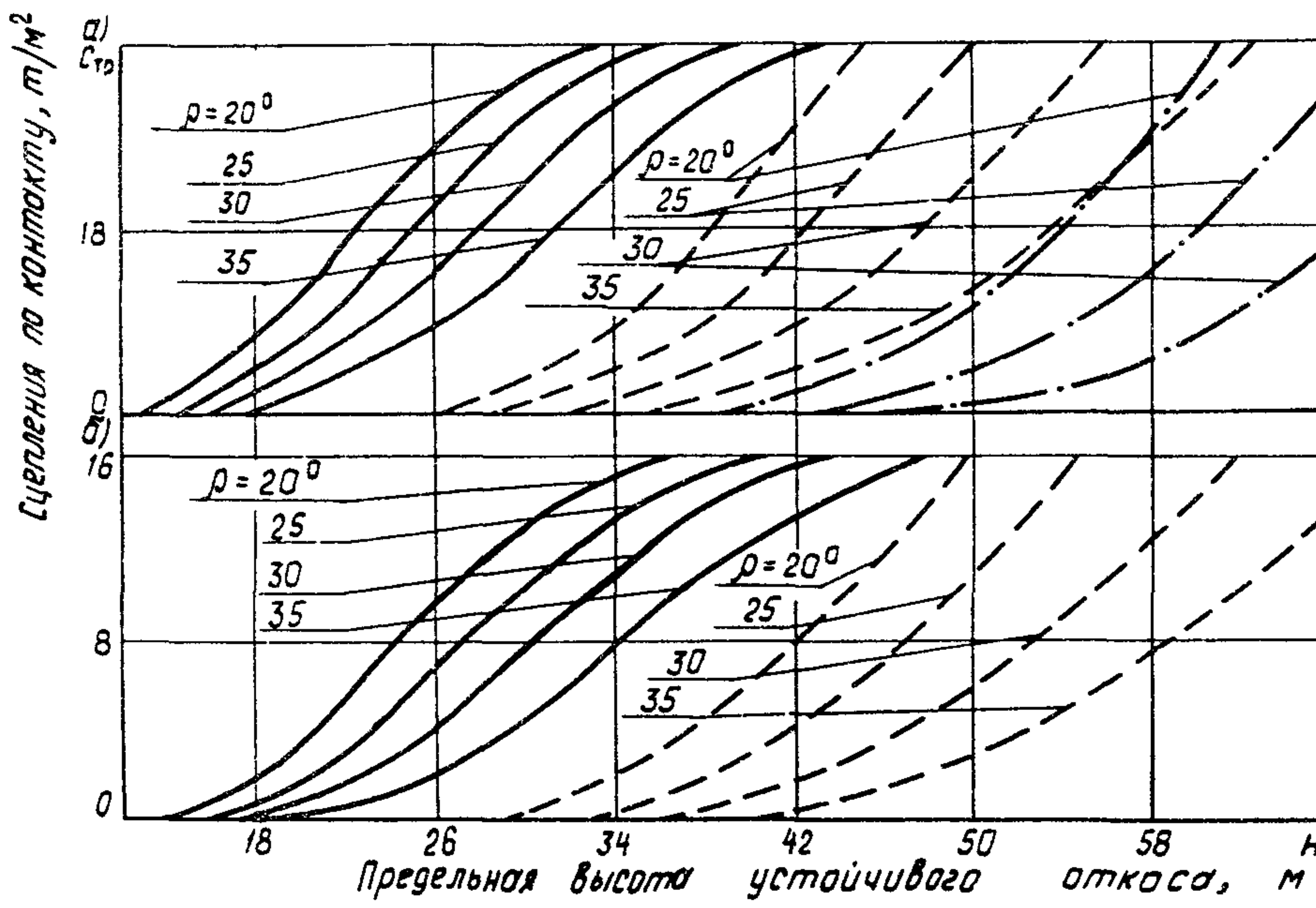


Рис.4. Номограммы для определения предельной высоты устойчивого откоса при неблагоприятном расположении поверхностей ослабления и совпадении их с откосом (для некоторых расчетных сочетаний)

/расчетная схема IУ/:

— $C_m = 10 \text{ T/m}^2$; - - - $C_m = 20 \text{ T/m}^2$; - · - $C_m = 30 \text{ T/m}^2$;

α — $\beta = 50^\circ$; $\varphi_{TP} = 10^\circ$; $\gamma_0 = 2,5 \text{ T/m}^3$;

β — $\beta = 50^\circ$; $\varphi_{TP} = 15^\circ$; $\gamma_0 = 2,5 \text{ T/m}^3$

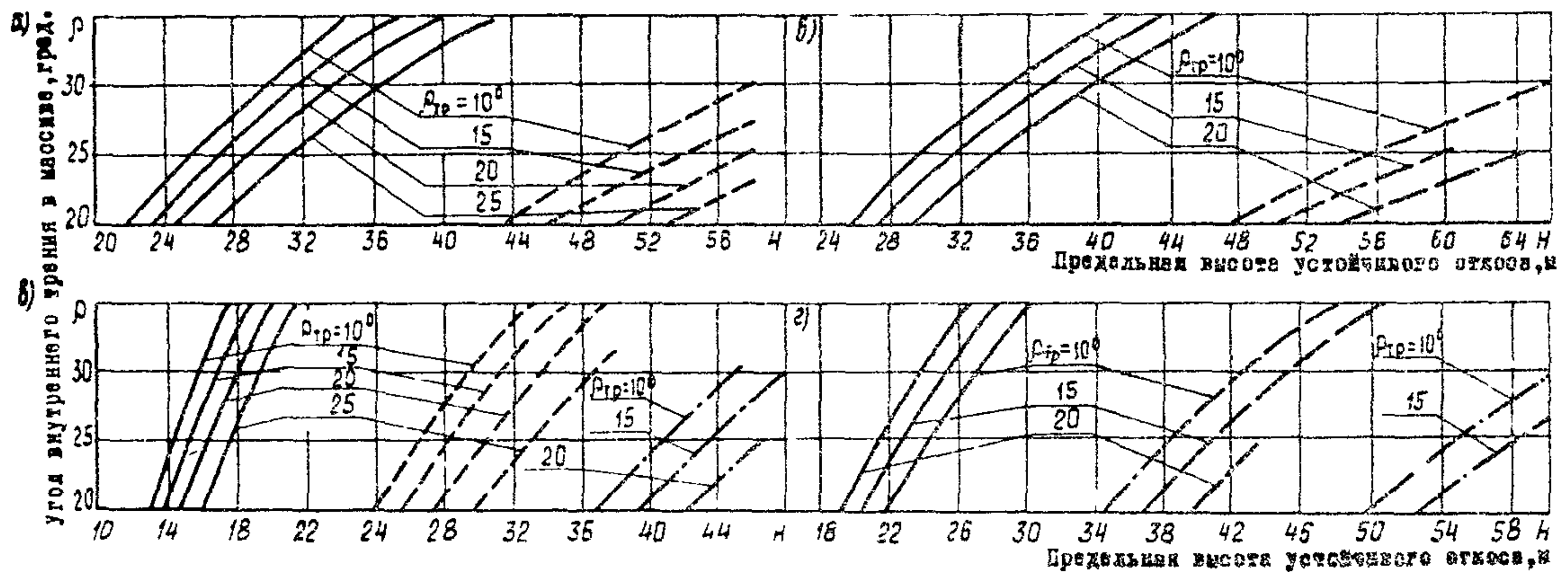


Рис. 5. Номограммы для определения предельной высоты устойчивого откоса при неблагоприятном расположении поверхностей ослабления и при откосе более пологом, чем плоскости ослабления (для некоторых расчетных сочетаний) /расчетная схема У/:

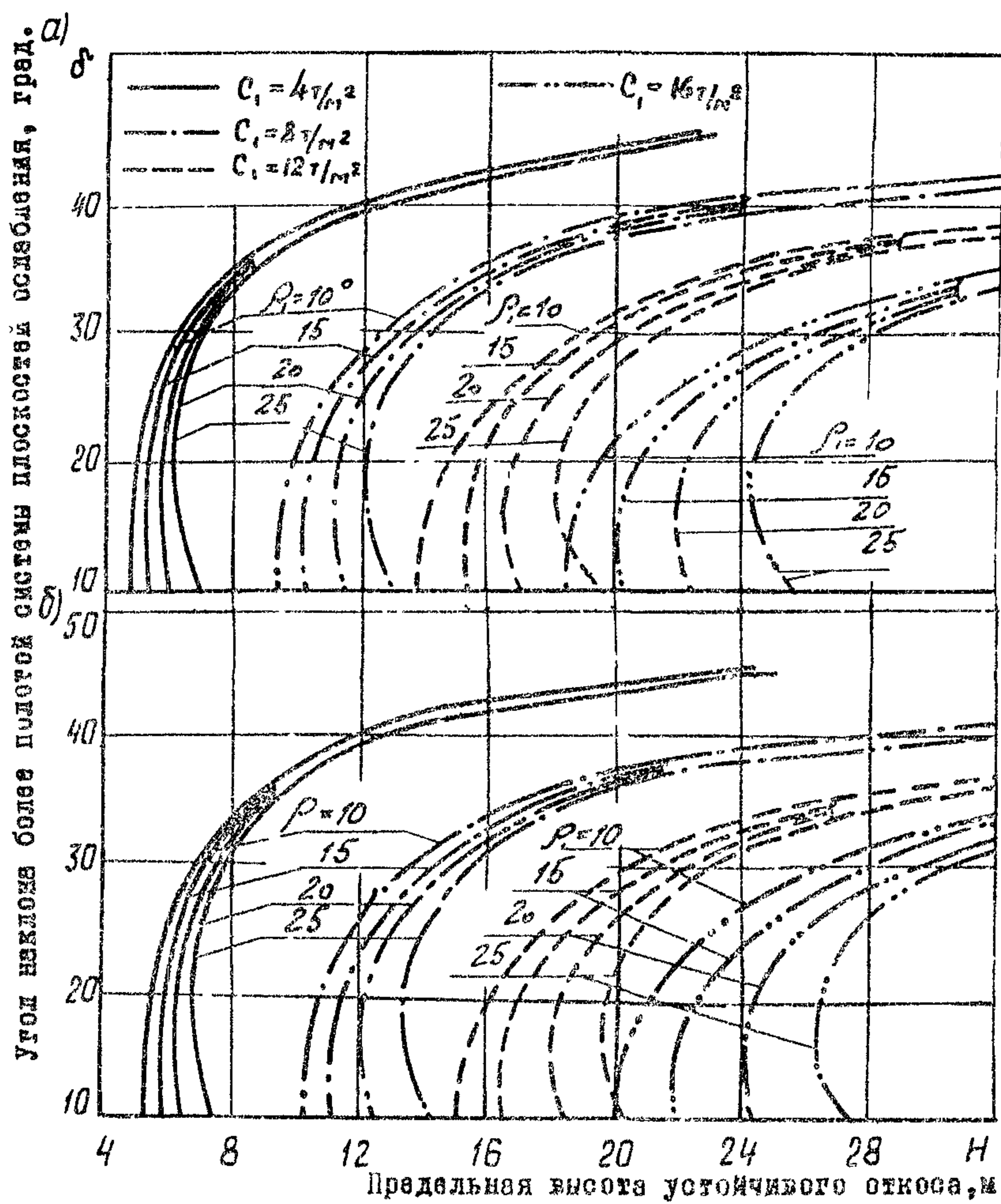
$$C_M = 10 \text{ T/m}^2; \quad -\cdots- C_M = 20 \text{ T/m}^2; \quad -\cdot- C_M = 30 \text{ T/m}^2;$$

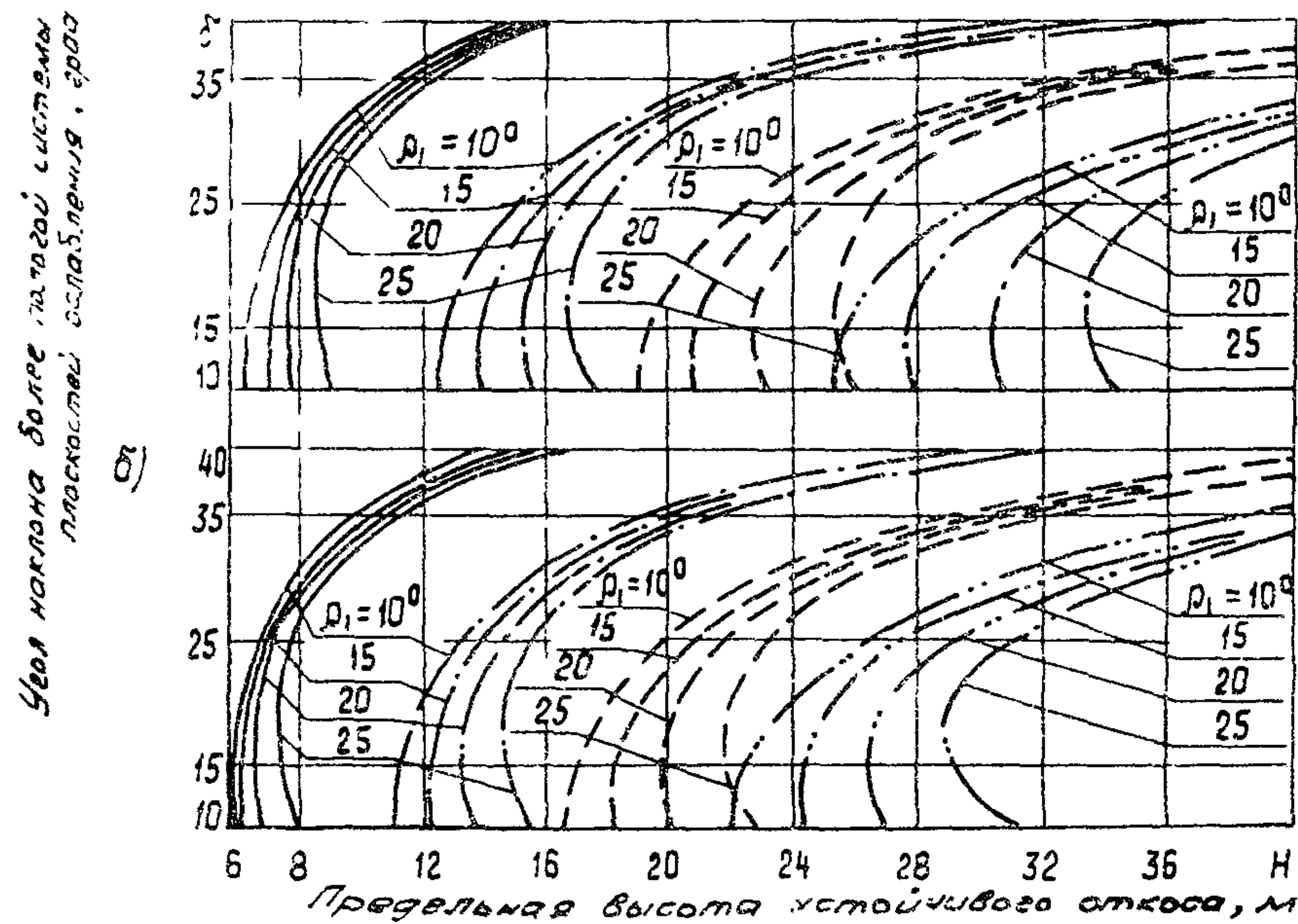
$$a - \beta = 60^\circ; C_{tr} = 0; \alpha = 50^\circ; \delta = 2,5 \text{ T/m}^2;$$

$$b - \beta = 60^\circ; C_{tr} = 4 \text{ T/m}^2; \alpha = 50^\circ; \delta = 2,5 \text{ T/m}^2;$$

$$c - \beta = 60^\circ; C_{tr} = 0; \alpha = 60^\circ; \delta = 2,5 \text{ T/m}^2;$$

$$d - \beta = 60^\circ; C_{tr} = 4 \text{ T/m}^2; \alpha = 60^\circ; \delta = 2,5 \text{ T/m}^2$$





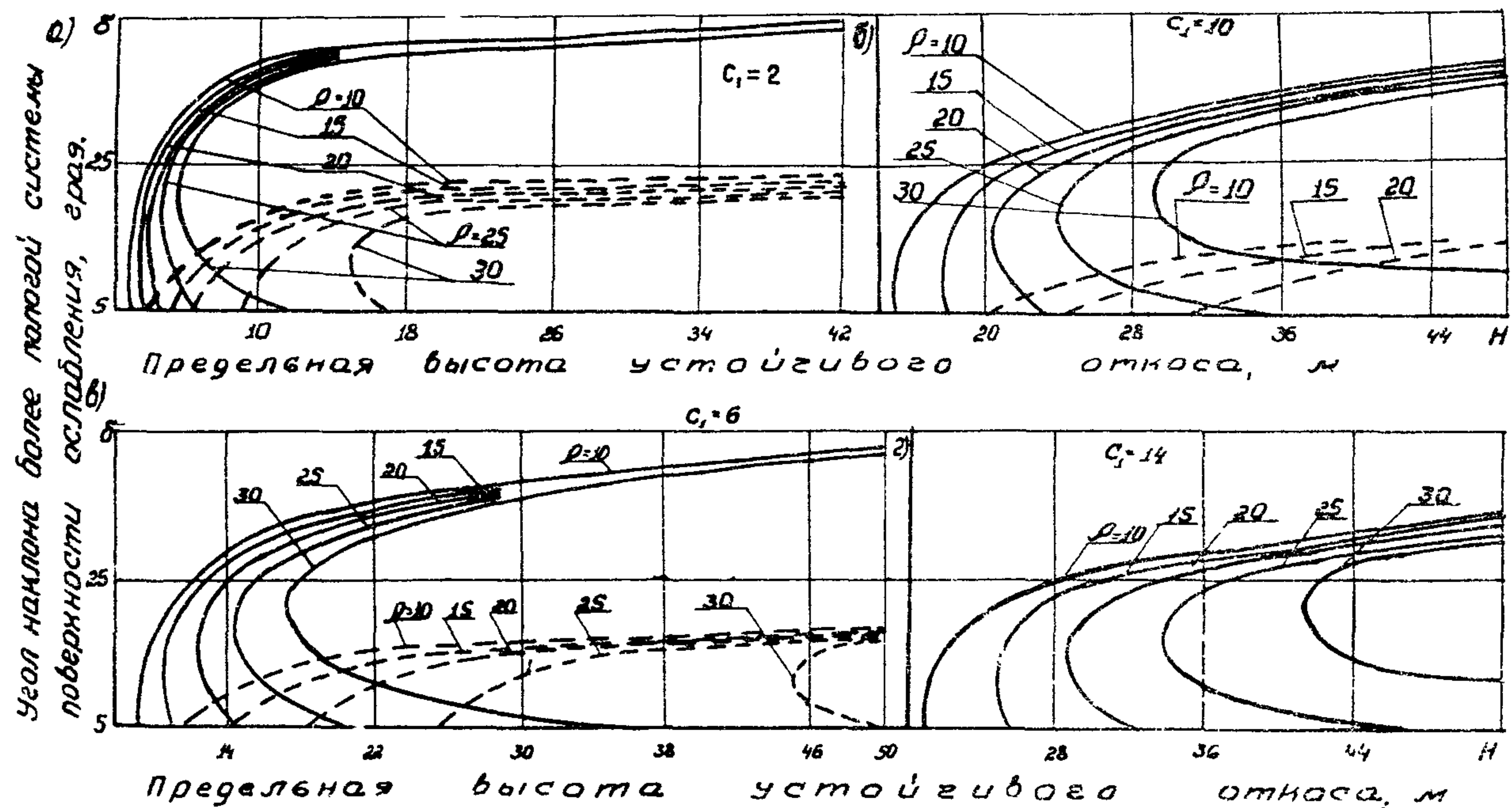


Рис. 8. Номограммы для определения предельной высоты устойчивого откоса (для некоторых расчетных сочетаний) при наличии двух или более систем поверхностей ослабления, падающих в строку откоса под различными углами β и δ и несовпадающих с углом откоса α ; $\beta > \alpha > \delta$ /расчетная схема УП/:

58 $\beta = 60^\circ; C_{tr} = 0; \gamma_{tr} = 10^\circ; \underline{\underline{\alpha}} = 50^\circ; \underline{\underline{\alpha}} = 30^\circ;$

$$\underline{\underline{\alpha}} = 2; \underline{\underline{\alpha}} = 6; \underline{\underline{\alpha}} = 10; \underline{\underline{\alpha}} = 14 \text{ Т/м}^2;$$

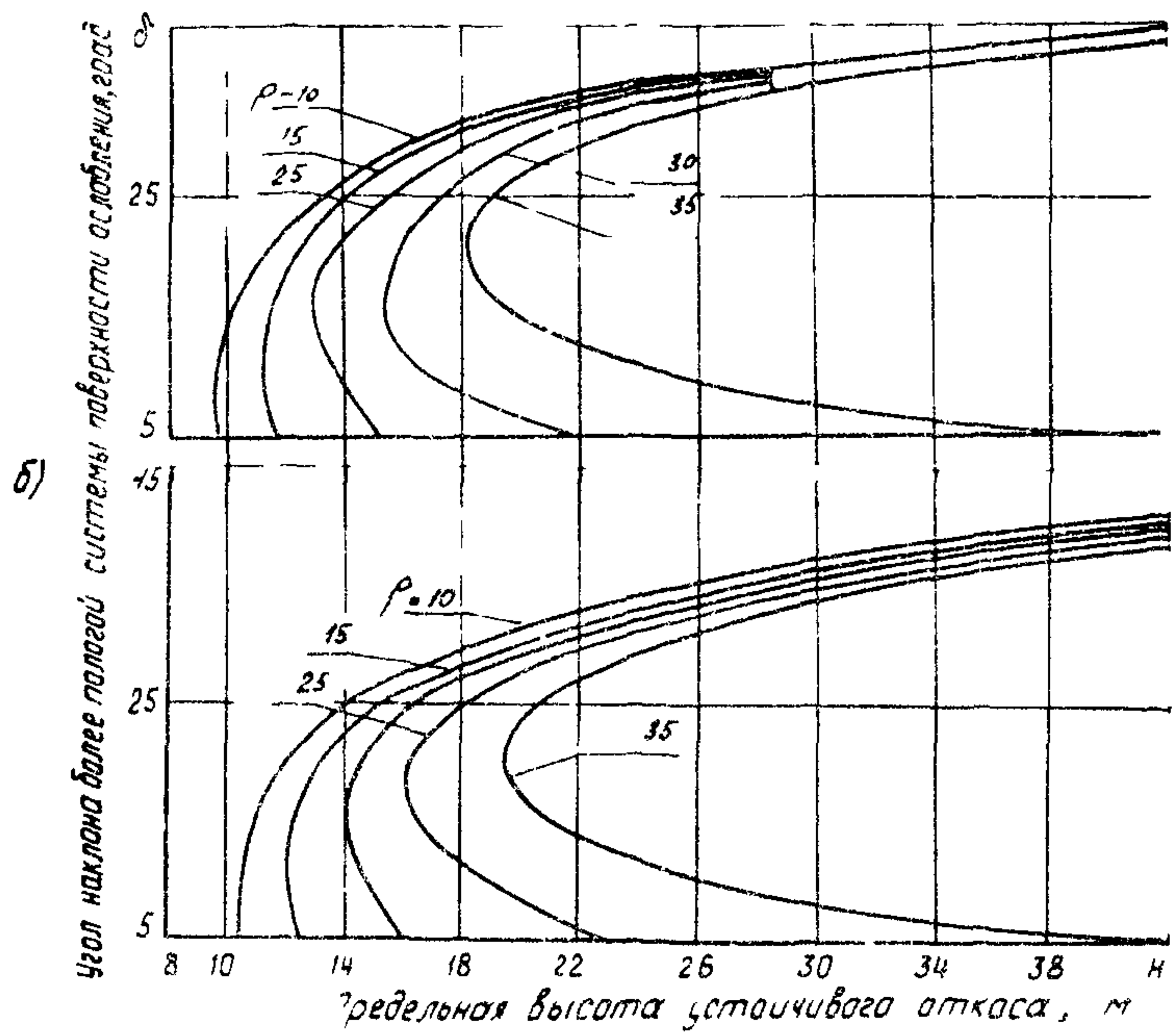


Рис. 9. Номограммы для определения предельной высоты устойчивого откоса (для некоторых расчетных сочетаний) при наличии двух или более систем поверхности осыпания, падающих в сторону откоса под углами различными β и ϕ и несовпадающих с углом откоса α ($\beta > \alpha > \phi$. /расчетная схема УП/):

а - $\beta = 60^\circ$; $C_{tr} = 0$; $\varphi_{tr} = 15^\circ$;
 б - $\beta = 60^\circ$; $C_{tr} = 0$; $\varphi_{tr} = 20^\circ$;
 $C_I = 6 \text{ T/m}^2$; $\alpha = 50^\circ$

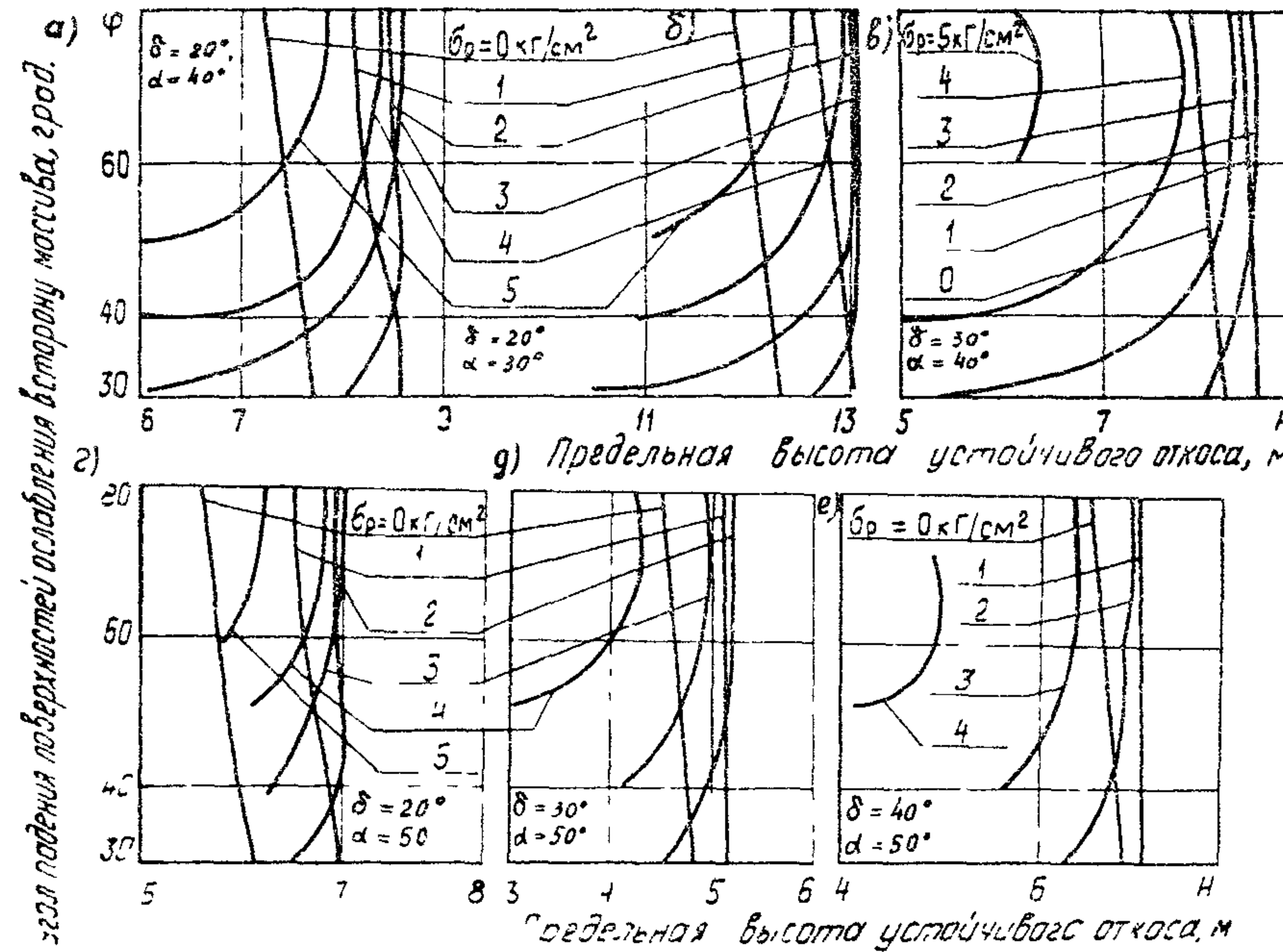
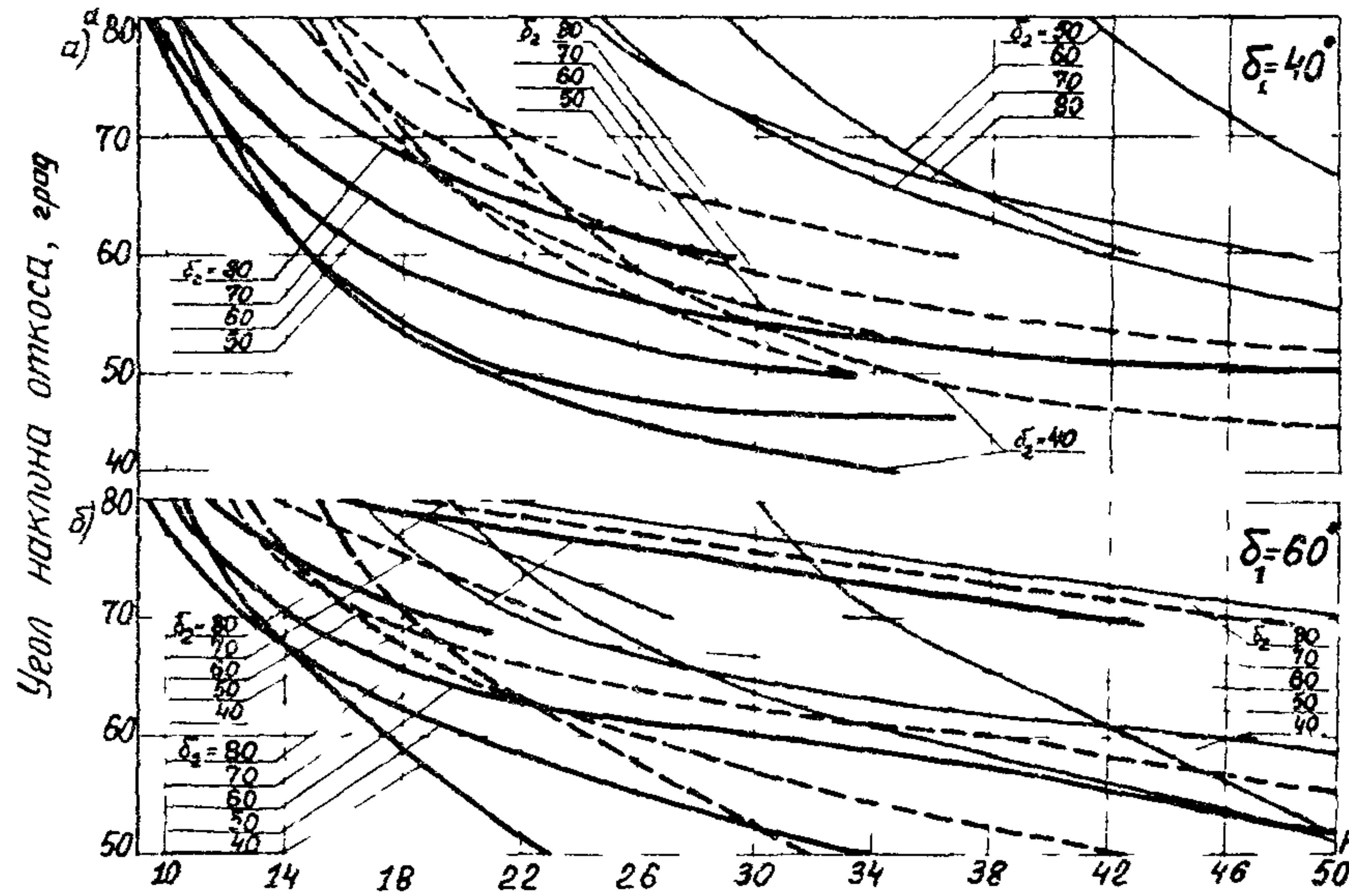


Рис. 10. Номограммы для определения предельной высоты устойчивого откоса с углом наклона α при наличии двух или более систем поверхностей ослабления, одна из которых имеет падение в сторону выемки под углом δ' ($\delta' < \alpha$), а другая - в сторону массива под углом Φ (для некоторых расчетных сочетаний) /расчетная схема УШ/

5
a) $\delta = 20^\circ$

б) $\delta = 20^\circ$, $d = 30^\circ$; в) $\delta = 30^\circ$, $d = 40^\circ$; г) $\delta = 20^\circ$, $d = 50^\circ$; д) $\delta = 30^\circ$, $d = 50^\circ$

е) $\delta = 40^\circ$, $d = 50^\circ$.



Предельная высота устойчивого откоса, м

Рис. II. Номограммы для определения предельной высоты устойчивого откоса, при расчетной схеме, учитывающей объемное расположение поверхностей ослабления (для некоторых расчетных сочетаний)/расчетная схема XI:

$$\begin{aligned}
 a - C_{\text{тр}} &= 2 \text{ T/m}^2; \quad \gamma_0 = 2,5 \text{ T/m}^3; \quad - \beta = 0^\circ; \quad ; \quad A_0 = 90^\circ; \quad A_1 = 130^\circ; \quad A_2 = 50^\circ \\
 b - C_{\text{тр}} &= 2 \text{ T/m}^2; \quad \gamma_0 = 2,5 \text{ T/m}^3; \quad - \beta = 15^\circ; \quad ; \quad A_0 = 90^\circ; \quad A_1 = 130^\circ; \quad A_2 = 50^\circ \\
 c - C_{\text{тр}} &= 2 \text{ T/m}^2; \quad \gamma_0 = 2,5 \text{ T/m}^3; \quad - \beta = 30^\circ; \quad ; \quad A_0 = 90^\circ; \quad A_1 = 130^\circ; \quad A_2 = 50^\circ
 \end{aligned}$$

Приложение 4

ПОСЛЕДОВАТЕЛЬНОСТЬ ВЫПОЛНЕНИЯ РАСЧЕТОВ ОЦЕНКИ УСТОЙЧИВОСТИ ОТКОСОВ ПО СХЕМЕ IX^X

В данной расчетной схеме массив принимается макрооднородным (квазивизиральным), а расчетная поверхность обрушения – круглоцилиндрической с вертикальным верхним участком высотой H_{90} , в пределах которого считается, что порода работает на разрыв. Сопротивление разрыву скальной породе в запас безопасности принимается равным нулю.

Положение наиболее опасной поверхности обрушения для заданной конфигурации откоса, т.е. для конкретных значений крутизны α и высоты его H , определяют в следующей последовательности (рис. I):

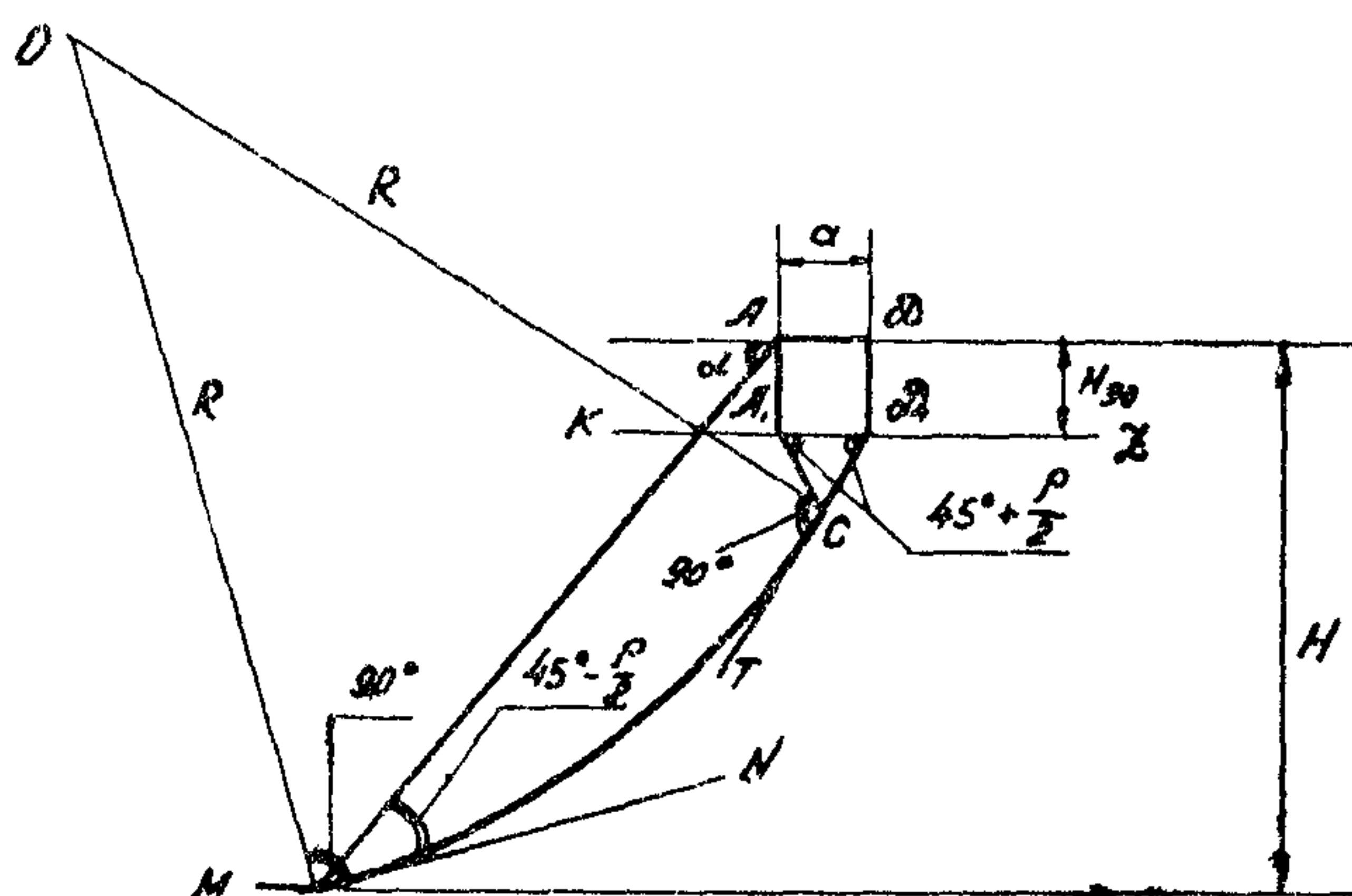


Рис. I. Построение поверхности обрушения в расчетной схеме IX

^X Изложенные в настоящем приложении методики основываются на разработках Г.Л.Фисенко [2, 9, 10] и уточнены по результатам исследований некоторых других авторов [10, 26, 27, 28].

определяют высоту вертикального участка поверхности обрушения H_{90} - вертикальной трещины откоса - по формуле для расчетной схемы I (см. "абл. I раздела 2");

проводят на уровне проектируемого откоса горизонтальную линию АД, из гаюбки H_{90} от нее проводят прямую КЭ, параллельную АД;

определяют ширину призмы обрушения α (см. рас. I) по формуле [10,26]

$$\alpha = \frac{2H[1 \cdot \operatorname{ctg}\alpha \cdot \operatorname{tg}\left(\frac{\alpha + \rho}{2}\right)] - 2H_{90}}{\operatorname{tg}(45 + \frac{\rho}{2}) + \operatorname{tg}\left(\frac{\alpha + \rho}{2}\right)},$$

где

H - высота рассматриваемого откоса, м;

ρ - угол внутреннего трения массива вкrest по направлению к поверхности осязания, град;

откладывают ширину призмы обрушения "а" от бровки откоса (участок АД на сх. I);

проводят прямую под углом $(45 - \frac{\rho}{2})$ к линии поверхности проектируемого откоса через подошву откоса (точку М);

опускают из точек Д и А перпендикуляры ДД₁ и АД₁ на линию КЭ. Из точки Д₁ проводят прямые Д₁Т под углом $(45^\circ + \frac{\rho}{2})$ к линии КЭ (в сторону откоса); из точки А₁ проводят прямую под углом $(45^\circ + \frac{\rho}{2})$ к линии КЭ (в сторону, противоположную откосу) до пересечения с Д₁Т в узловой точке С;

восстанавливают перпендикуляры к линиям МН из точки М и Д₁Т - из точки С. Пересечение этих перпендикуляров даст точку О, являющуюся центром окружности, из которой радиусом R проводят криволинейный участок МС поверхности обрушения.

Дальнейший расчет общей устойчивости участка массива, ограниченного полученной поверхностью обрушения и поверхностью откоса, проводят по общепринятому способу:

разбивают вертикальными поверхностями этот массив на отсеки;

определяют вес каждого отсека δ_i , приходящийся на 1 пог.м длины временного;

вычисляют коэффициент устойчивости K_u по выражению

$$K_u = \frac{tg \rho \sum N_i + C_m Z}{\sum T_i},$$

где $N_i = \theta_i \cdot \cos \alpha_i$; $T_i = \theta_i \cdot \sin \alpha_i$;

α_i - осредненный угол наклона к горизонту поверхности обрушения в пределах каждого выделенного отсека, град;

Z - длина поверхности обрушения в пределах участка;

$$\theta_i = h_i^{\text{ср}} \cdot a_{oi}^{\text{ср}} / y_o;$$

$h_i^{\text{ср}}$ - средняя высота отсека, м;

$a_{oi}^{\text{ср}}$ - средняя кривина отсека, м;

y_o - объемный вес пород, т/м³;

C_m - сцепление в массиве, т/м²;

ρ - угол внутреннего трения в массиве, град.

При выполнении расчета величины параметров ρ и C_m , в соответствии с указаниями раздела 4, уменьшаются на величину коэффициента запаса, равного 1,3.

Получение в результате расчета $K_u = 1$ свидетельствует о том, что рассматриваемый откос устойчив при коэффициенте запаса, равном 1,3. Если $K_u > 1$, то предельная высота откоса при той же крутизне (при коэффициенте запаса 1,3) может быть увеличена; при $K_u < 1$ - высота должна быть уменьшена или откос соответственно уложен.

Для определения предельно допустимой высоты откоса при данной его крутизне и коэффициенте запаса 1,3 достаточно выполнить два расчета, изменяя H во втором расчете в большую или меньшую сторону в зависимости от результатов первого.

По результатам двух таких вычислений строят график изменения коэффициента K от высоты откоса. Для этого в

точках, являющихся основанием откоса в двух выполненных расчетах, восстанавливают перпендикуляры к линии откоса в соответствии с рис. 2 и откладывают в одинаковых масштабах отрезки, превышающие I в величине K_u или недостающие до I .

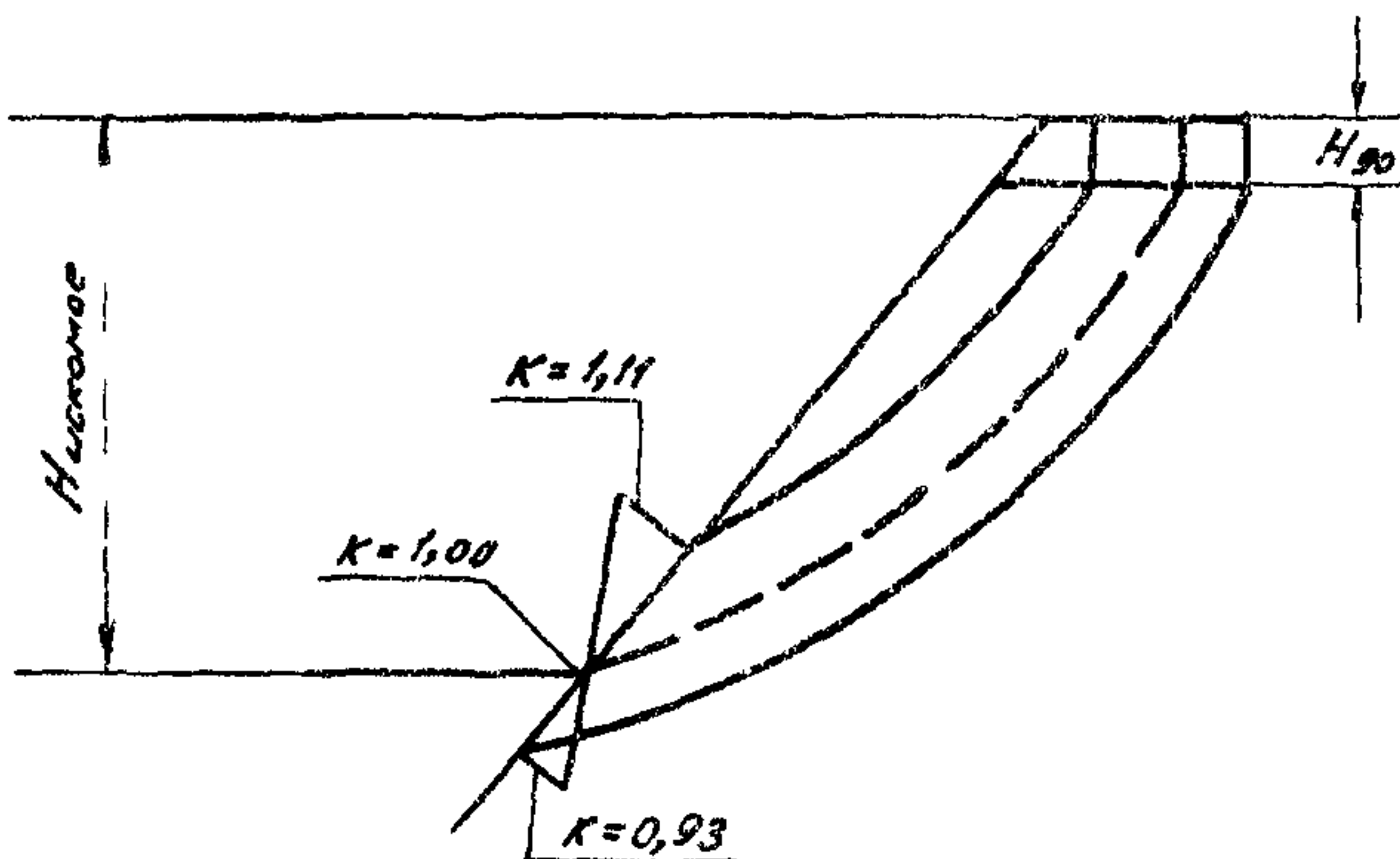


Рис. 2. Определение высоты предельного устойчивого откоса по двум расчетам

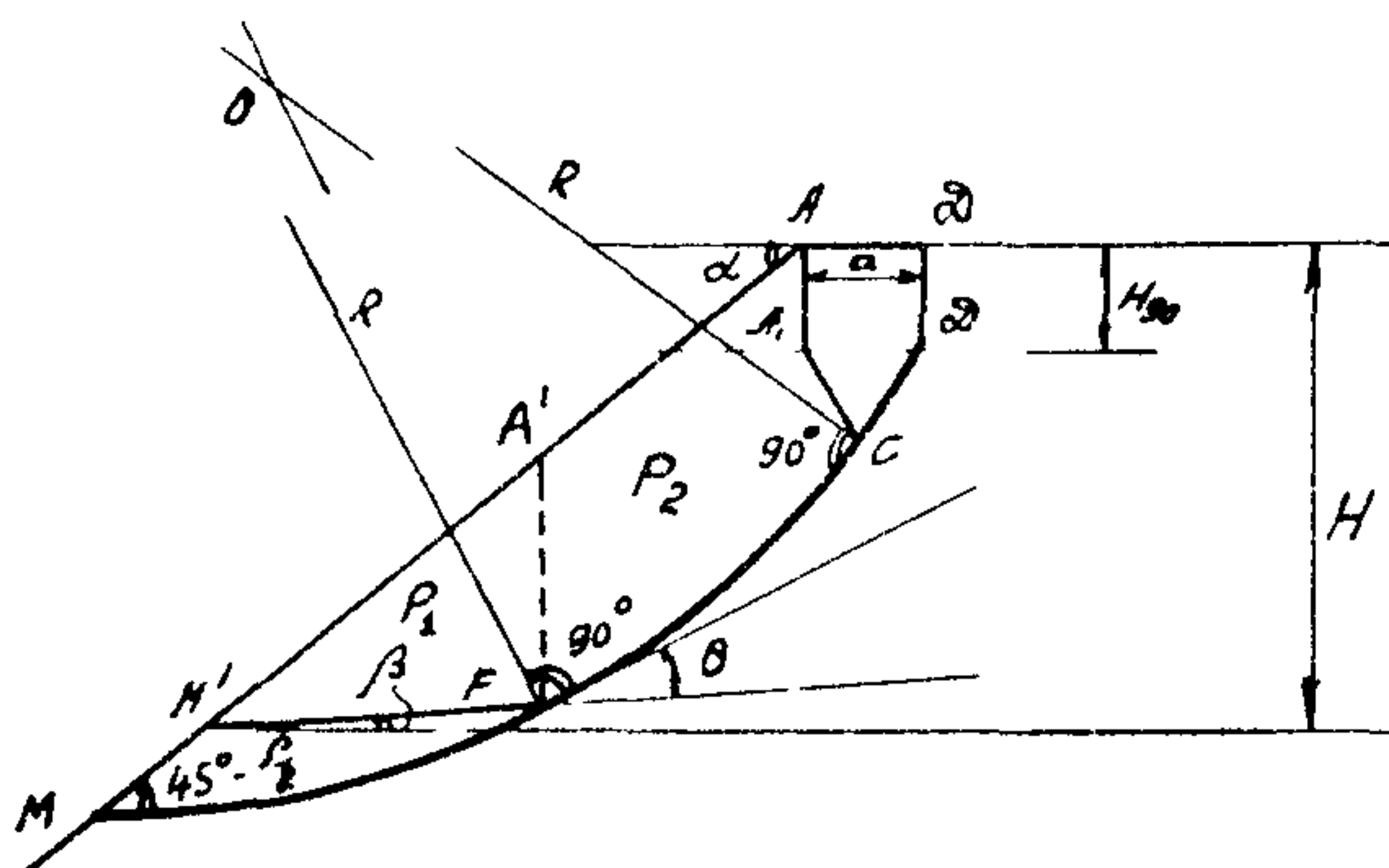
Концы этих перпендикуляров соединяют прямой, точка пересечения которой с линией откоса и указет подоину исходного откоса (см.рис.2).

Для ускоренных определений предельной высоты устойчивого откоса можно использовать график, приведенный на рис. 5 раздела 2 [2, 9, 10]. На этом графике приведены величины предельной высоты H в долях от H_{90} , определяемой по схеме I таол. I раздела 2 в зависимости от значений ρ , величина которого снижается на коэффициент запаса (1,3).

Приложение 5

ПОСЛЕДОВАТЕЛЬНОСТЬ ВЫПОЛНЕНИЯ РАСЧЕТОВ ОБЩЕЙ УСТОЙЧИВОСТИ ОТКОСОВ ПО СХЕМЕ X^I

Настоящая расчетная схема, как и схема IX, (см. приложение 4) отражает размещение поверхности обрушения в верхней части массива, как в квазизотропной среде; в нижней части поверхности обрушения предполагается ее прохождение по контактам плоскостей ослабления (см. рисунок). В этом случае рекомендуется следующая последовательность расчета:



Построение поверхности обрушения в расчетной схеме X

ориентировочно для заданной крутизны откоса и сдвиговых параметров ρ и C_M (уменьшенных на коэффициент запаса устойчивости) по графику, приведенному на рис. 5 раздела 2, определяют предельную высоту устойчивого откоса, как для квазизотропного массива;

по способу, изложенному для расчетной схемы IX, осуществляется построение поверхности обрушения для найденной (в соответствии с указанным предшествующего абзаца) высоты откоса;

на произвольно выбранном от подошвы откоса расстоянии проводят линию, совмещенную с поверхностью ослабления под углом β к горизонту (см. рисунок), что определяет очерта-

^I Данная методика разработана во ВНИМИ [10, 27, 28, 29].

ные призмы возможного обрушения;

в призме возможного обрушения M^1ADD_1F выделяют призму упора (1) M^1A^1F и призму активного давления (2) A^1ADD_1F ;

призму активного давления разбивают на отдельные отсеки. Вес каждого из них составляет

$$P_{2i} = h_i^{cp} \alpha_i \cdot f_0 ,$$

где

h_i^{cp} - осредненная высота отсека, м;

α_i - ширина отсека, м;

f_0 - объемный вес массива пород, Т/м³;

определяют нормальные к сдвигущим составляющим для каждого отсека. После алгебраического сложения удерживающих и сдвигущих сил, действующих по поверхности обрушения в пределах участка призмы активного давления (FCD_i), их проектируют на направление поверхности ослабления (M^1F).

В результате определяются:

$\Sigma T_i \cos \theta$ - сдвигющая сила, возникающая на поверхности под действием призмы активного давления;

$(tg \rho \Sigma N_i + c_m \chi_a) \cos \theta + (\Sigma T_i - \Sigma N_i \tan \rho - c_m \chi_a) \sin \theta \tan \rho_{tp}$ - удерживающая сила на поверхности M^1F , возникающая под влиянием призмы активного давления.

В этих выражениях:

$$N_i = P_{2i} \cdot \cos \alpha_i ;$$

$$T_i = P_{2i} \cdot \sin \alpha_i ;$$

α_i - осредненный угол наклона к горизонту поверхности обрушения в пределах каждого выделенного отсека, град;

χ_a - длина поверхности обрушения на участке призмы активного давления, м;

θ - угол, град., между направлением поверхности ослабления (M^1F) и перпендикуляром, опущенным из точки F к радиусу поверхности обрушения на участке FC (см.рисунок);

определяют силы, возникающие на поверхности МР под действием призмы упора:

$P_i \cos \beta \operatorname{tg} \rho_{tp} + C_{tp} Z_y$ – удерживающая сила;

$P_i \sin \beta$ – сдвиговая сила, при падении склонов в сторону массива эта сила становится удерживающей).

В приведенных выражениях:

P_i – вес призмы упора, Т;

Z_y – длина поверхности обрушения на участке призмы упора, м;

устанавливают величину коэффициента устойчивости рассматриваемого откоса, которую вычисляют в случае падения поверхностей ослабления в сторону откоса по выражению

$$K = \frac{P_i \cos \beta \operatorname{tg} \rho_{tp} + C_{tp} Z_y + (\operatorname{tg} \rho \sum N_i + C_m Z_a) \cdot \cos \theta + (\sum T_i - \sum N_i \operatorname{tg} \rho - C_m Z_a) \sin \theta \operatorname{tg} \rho_{tp}}{\sum T_i \cos \theta + P_i \sin \beta},$$

а при падении поверхностей ослабления в сторону массива –

$$K = \frac{P_i \cos \beta \operatorname{tg} \rho_{tp} + C_{tp} Z_y + (\operatorname{tg} \rho \sum N_i + C_m Z_a) \cos \theta + (\sum T_i - \sum N_i \operatorname{tg} \rho - C_m Z_a) \sin \theta \operatorname{tg} \rho_{tp} + P_i \sin \beta}{\sum T_i \cos \theta},$$

изменяют положение нижнего участка поверхности обрушения, совмещаемого с плоскостью ослабления, и расчет повторяют;

определяют высоту откоса заданной крутизны, при которой $K = I$. Способ ее отыскания остается таким же, как и для расчетной схемы IX (см. рис. 2 приложения 4).

По большому количеству подобных расчетов во ВНИИ [28] составлены таблицы, с помощью которых можно ускоренно определить искомую предельную высоту устойчивого откоса (по заданным характеристикам сопротивления сдвигу на различных участках поверхности обрушения и углом наклона откоса).

При этом последовательность расчетов принимается следующей:

по графику на рис. 5 раздела 2, по принятым значениям α и ρ (умноженным на коэффициент запаса устойчивости) определяют предельную высоту H квазизотропного откоса;

для получения искомой предельной высоты устойчивого откоса по принятой расчетной схеме (см.рис.4 раздела 2) полученная в соответствии с рекомендациями предшествующего пункта высота откоса H уменьшается на поправочный коэффициент δ , т.е.

$$H_1 = H \cdot \delta .$$

Для определения коэффициента δ необходимо предварительно вычислить коэффициент C по выражению

$$C = \frac{\operatorname{tg} \rho}{\operatorname{tg} \psi} - 1.28 ,$$

где

$$\operatorname{tg} \psi = \operatorname{tg} \rho_{tr} + \frac{C_{tr}}{\sigma_{cr}} ;$$

σ_{cr} – средняя интенсивность нормального напряжения по поверхности скольжения, T/m^2

$$\sigma_{cr} = 0.3 f \cdot H \cdot \cos \beta .$$

После этого вычисляют коэффициент δ по выражению

$$\delta = \delta_0 - C \delta ,$$

в котором вспомогательные коэффициенты δ_0 и δ принимают по таблице, приведенной в настоящем приложении.

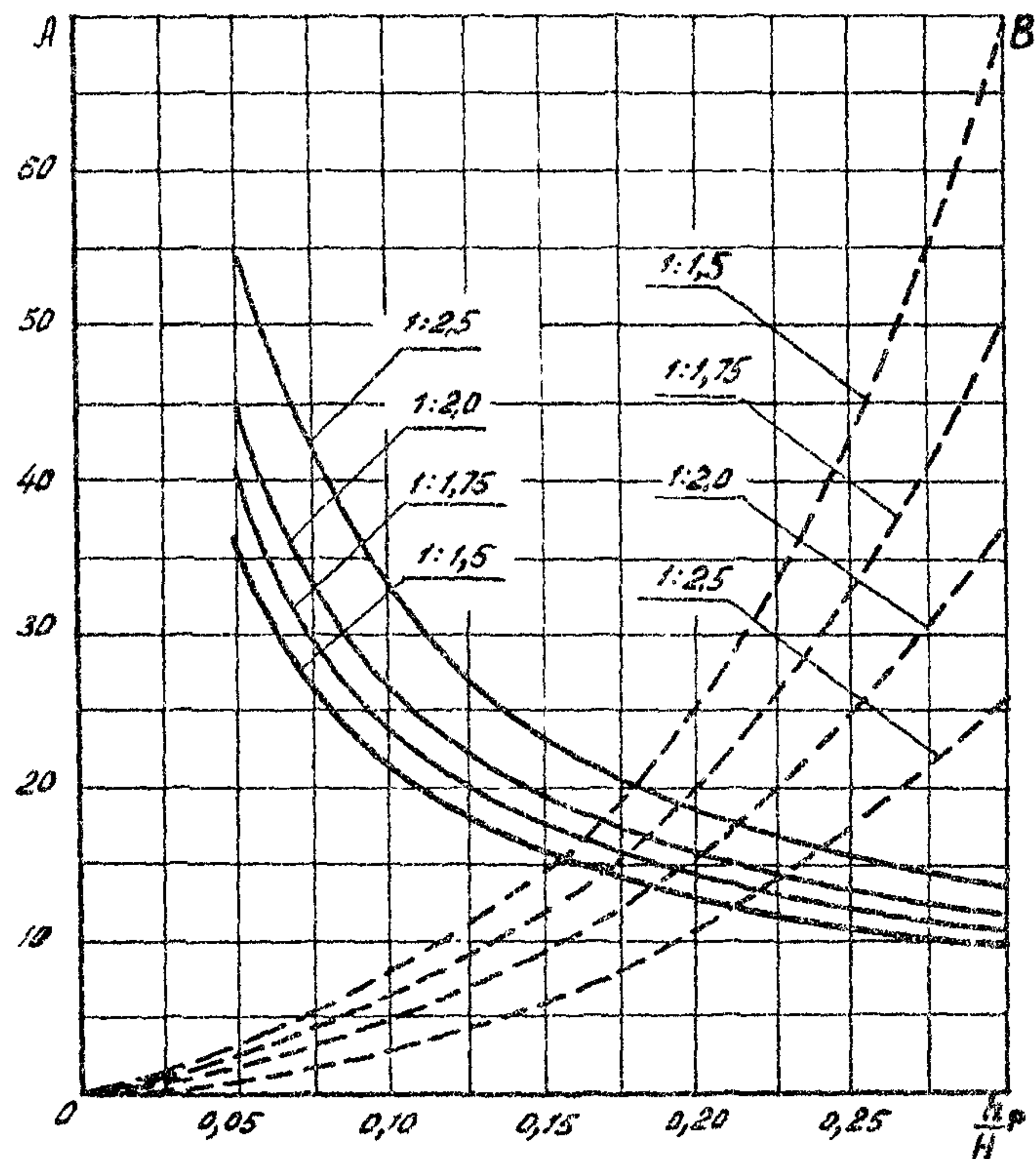
По указанной методике ускоренного определения в ЦНИИСе вычислены искомые значения H для некоторых значений крутизны откоса, величины и направления угла β и величины H_{90} (см.рис.6, раздел 2).

Угол откоса α , град	Значения коэффициентов b_o и δ при угле падения β поверхностей ослабле- ния, град.													
	$+30^\circ$		$+20^\circ$		$+10^\circ$		0°		-10°		-20°			
	b_o	δ	b_o	δ	b_o	δ	b_o	δ	b_o	δ	b_o	δ	b_o	δ
40	1,000	0,045	0,920	0,079	0,850	0,118	0,795	0,160	0,740	0,300	0,532	0,400	0,470	0,440
50			1,000	0,063	0,910	0,110	0,815	0,150	0,785	0,250	0,687	0,340	0,550	0,380
60					1,000	0,100	0,880	0,140	0,800	0,220	0,660	0,295	0,590	0,340
70							1,000	0,135	0,880	0,205	0,720	0,265	0,620	0,305
80									1,000	0,195	0,800	0,245	0,690	0,280

Примечание. Углы падения β в сторону массива обозначены со знаком " + ", а в сторону откоса - со знаком " - ".

Приложение 6

График для определения коэффициентов А и В при расчёте местной устойчивости



Приложение 7

Использование динамического пробника для получения расчетных параметров ускоренным методом

Принцип использования динамического пробника конструкции Ю.Д.Белова [30, 31, 32] основан на оценке относительной механической прочности породы по количеству работы, затраченной на погружение в нее инструмента (пуансона) сечением $S = 1 \text{ см}^2$, забиваемого молотком весом 1 кг. Общий вид динамического пробника представлен на рисунке.

Относительная механическая прочность вычисляется по выражению

$$R_{\text{отн}} = \frac{A \cdot n}{\ell \cdot S},$$

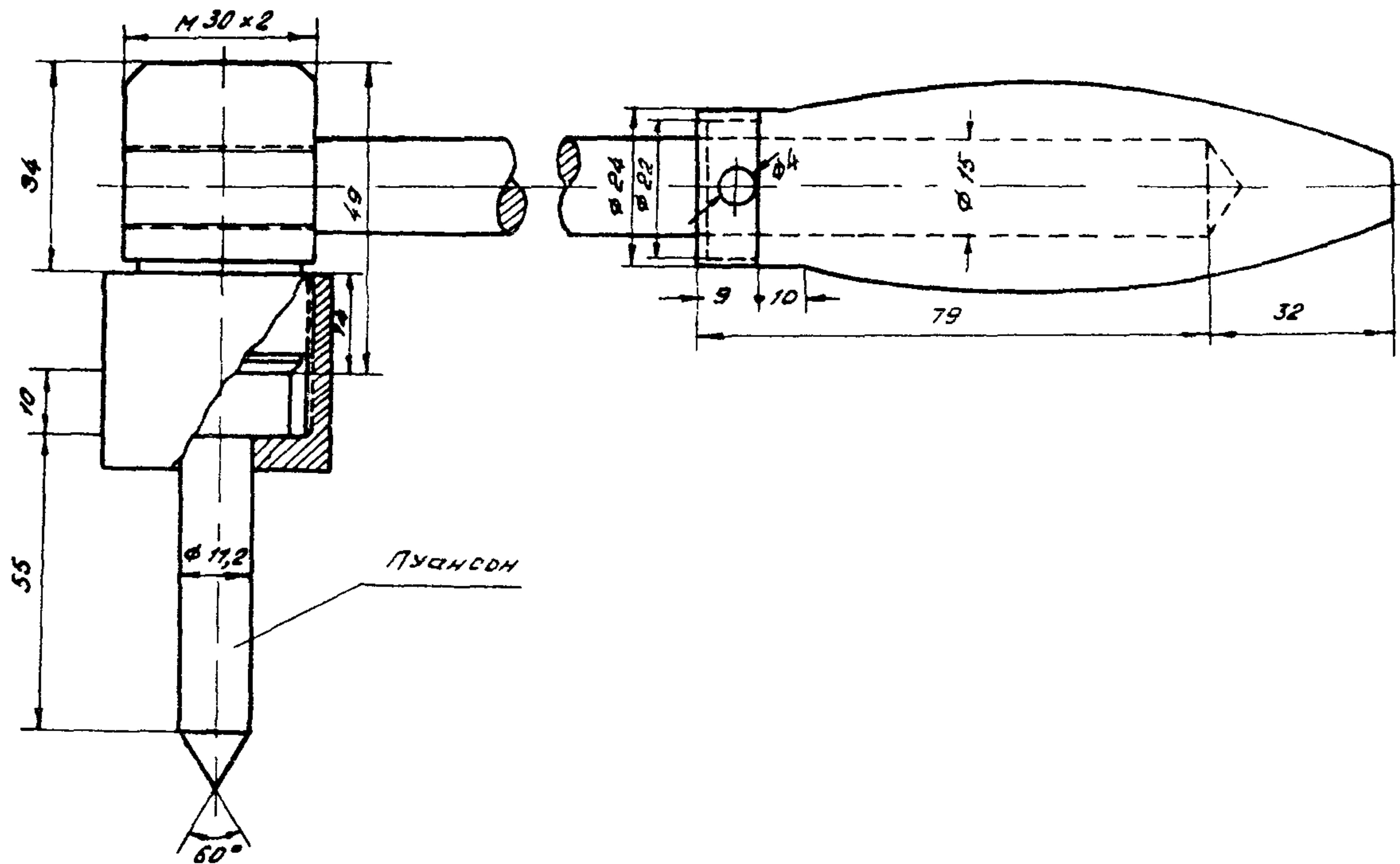
где $R_{\text{отн}}$ - относительная механическая прочность, $\text{kг}/\text{см}^2$;
 n - число ударов;
 ℓ - глубина погружения (внедрения) пуансона, см;
 A - работа одного плечевого удара молотка весом 1 кг., принимаемая в среднем равной 160 кгс·м [30, 31].

Примуществом использования динамического пробника является возможность осуществления по очень простой методике массовых определений прочности непосредственно в натурных условиях, т.е. возможность учета естественного состояния и сложения исследуемых пород в имеющихся обнажениях.

Несмотря на то, что точность отдельных определений невелика, но за счет массности испытаний надежность получаемых результатов (при их статистической обработке) достаточно для практических целей.

Полученная относительная механическая прочность может быть коррелиционно связана с различными прочностными параметрами, определяемыми по более точной методике (например, по типу зависимости, изображенной на рис. 9 раздела 4).

89



Динамический пробник

Приложение 8

Значения ρ_{tr} при отсутствии заполнителя по контактам поверхностей ослабления^I

Характеристика по- род	ρ_{tr} , град, при поверхностях			
	неровных перохова- тых	ровных перохо- вастых	неровных гладких	ровных гладких
Крепкие песчаники	28 - 31	24 - 28	22 - 27	20 - 26
Известняки	24 - 27	28 - 25	20 - 22	16 - 19
Аргиллиты, глинистые сланцы	28 - 26	21 - 28	18 - 20	15 - 18
Контакт песчаника с известняком	-	-	-	38
Мергели	-	-	-	16
Глинистые сланцы	-	-	-	18
Аргиллиты с зеркальными скольжениями на поверхностях ослабления	-	-	-	14
Алевролиты	-	27 - 28	-	22 - 23
Алевролиты с очень гладкими (местами зеркальными) поверхностями	-	-	-	18 - 16
Мелковернистый песчаник на глинистом цементе	38	-	-	-

Примечание. При возможности обводнения указанные в таблице значения ρ_{tr} следует уменьшать на 2 - 4 .

I Таблица составлена на основании данных Г.Л.Фисенко [2, 9] и Н.Н.Кувасса, изложенных в его докторской работе "Влияние трещиноватости на устойчивость бортов скальных разрезов", ВНИИ, 1958.

Приложение 9

Значение Стр при отсутствии заполнителя во
контактах поверхностей ослабления [2, 9]

Характеристика поверхностей ослабления	Характеристика толщи	Стр, T/m^2
Поверхность скольжения по контактам слоев	Дислоцированная осадочная толща	2 - 5
Контакты слоев	Неуплотненная не-дислоцированная суборассланцовавшаяся осадочная толща	50% от сцепления под углом к насыпям
Контакты слоев	Уплотненная слаборассланцовавшаяся осадочная толща	10 - 18
Контакты слоев	Метаморфизованная осадочная толща	5 - 10
Сложные первичные трещины и тектонические нарушения	Массивы изверженных и метаморфических пород	5 - 10

Приложение 10

Примеры расчета общей устойчивости откосов выемок

Пример I

исходные данные. Проверить расчетом общую устойчивость откоса, изображенного на рисунке. Высота откоса $H=22$ м, осредненная крутизна $\alpha = 55^\circ$.

Литология: аргиллиты - 76, песчаники - 24%. На рисунке показано расположение слоистости и сочетание слоев, дана роза устойчивости, построенная по методу В.Н. Славинова, и основные данные для ее построения [83]. Выделены три системы трещин: I и II имеют благоприятное по отношению к откосу падение; III система характеризуется неблагоприятным падением, но угол ее наклона круче угла откоса ($72-90^\circ$ против $55-60^\circ$).

Таким образом, из имеющихся расчетных схем можно использовать схему IX, рассматривающую откос в качестве квазивзройного массива. Из таблицы, характеризующей трещиноватость рассматриваемого массива, следует, что средний размер элементарного структурного блока $\ell_{cp} \approx 18,0$ см. При $H=22$ м $\frac{H}{\ell_{cp}} = \frac{22,0}{0,18} = 164$. При таком соотношении $\frac{H}{\ell_{cp}}$ массив считается квазивзройным [84].

Последовательность расчета

1. Определяем необходимые расчетные параметры для схемы IX.

Требуется знать $C, \rho, \gamma_0, \rho_{tr}, C_m, \frac{H}{\ell}$

2. Согласно указаниям, изложенным в разделе 4, прикасаем для аргиллитов $\rho = 32^\circ$, для песчаников $\rho = 34^\circ$. Величина сцепления в куске¹ для аргиллитов $C_{arg} = 60$ Т/м²;

¹ В рассматриваемом примере приняты фактические значения прочностных параметров, полученные в результате испытаний образцов с рассматриваемого объекта в лабораторных условиях.

для песчаников $C_{\text{песч.}} = 1420 \text{ Т/м}^2$.

3. Определяем значения ρ и C в куске, взвешенные по мощности литологических разностей:

$$C_{\text{взв.}} = \frac{76 \times 60 + 24 \times 1420}{100} = 385 \text{ Т/м}^2;$$

$$\rho_{\text{взв.}} = \frac{76 \times 32 + 24 \times 32}{100} = 32,5^\circ = 32^\circ 30' ;$$

$$f_0 = 2,4 \text{ Т/м}^3 \text{ (взвешенное по мощности значение).}$$

4. Вычисляем окончательные расчетные значения C и ρ с учетом уменьшения их величины на коэффициент запаса $K=1,3$

$$\operatorname{tg} \rho_{\text{расч.}} = \frac{\operatorname{tg} \rho^{636}}{1,3} = \frac{\operatorname{tg} 32^\circ 30'}{1,3} = 0,420; \quad \rho_{\text{расч.}} \approx 26^\circ;$$

$$C_{\text{расч.}} = \frac{C^{636}}{1,3} = \frac{385}{1,3} = 296 \text{ Т/м}^2 \approx 30 \text{ кГ/см}^2.$$

5. Находим значение C_M по формуле (13) (см. раздел 4)

$$C_M = C_{\text{тр}} + \frac{C - C_{\text{тр}}}{1 + a \ln \frac{H}{Z}}.$$

Так как обводнения не отмечено, мерохвостость структур поверхности ослабления (трещин) средняя, а заполнитель отсутствует, то согласно рекомендациям, изложенным в разделе 4, по таблице в приложении 9 находим:

$C_{\text{тр}} = 3,5 \text{ т/м}^2$ (для аргиллитов и песчаников принимаем среднее минимальное значение);

$$\text{расчетное значение } C_{\text{тр}}^{\text{расч.}} = \frac{3,5}{1,3} = 2,7 \text{ Т/м}^2;$$

по рис. I2 раздела 4 при $C = 30 \text{ кГ/см}^2$, $a = 22$

$$C_M = 2,7 + \frac{296 - 2,7}{1 + 2 \ln 164} = 5,3 \text{ Т/м}^2.$$

6. Согласно табл. I, раздела 2 $H_{90} = \frac{2 C_M}{f} \operatorname{ctg} (45 - \frac{\rho}{2}) = \frac{2 \times 5,3}{2,4} \operatorname{ctg} (45 - \frac{26}{2}) = 7 \text{ м.}$

7. По графику, приведенному в разделе 2 на рис. 5, при $\alpha = 55^\circ$ и $\rho = 26^\circ$ получаем $H' = \frac{H}{H_{90}} = 4,0$ и, т.е.

$$H = H' \cdot H_{90} = 4,0 \times 7,0 = 28 \text{ м} > 22 \text{ м.}$$

Таким образом, рассматриваемый откос вполне устойчив, коэффициент запаса превышает 1,3.

Пример 2

Исходные данные. Оценить общую устойчивость овощного откоса из выветрелого до состояния мелкозема аргиллита. Мощность выветрелого слоя до 5 м. Крутизна откоса 33° ($1:1,5$), высота его 16 м. В данном случае применима расчетная схема АШ. Полученные при испытаниях в частях для влажности по 33 % расчетные параметры выветрелого до мелкозема аргиллита оказались различными:

$$C = 3,5 \text{ Т/м}^2;$$

$$\rho = 12^\circ;$$

$$\gamma = 2,0 \text{ Т/м}^2.$$

Последовательность расчета

Мелкозем можно рассматривать как изотропный материал, т.е. $C_m = C$ и $\rho_{tr} = \rho$.

Для получения расчетных значений исходные параметры прочности уменьшаем на коэффициент запаса $K = 1,3$

$$\operatorname{tg} \rho_{расч} = \frac{\operatorname{tg} 12^\circ}{1,3} = 0,163; \rho_{расч} = 9^\circ 15';$$

$$C_{расч} = \frac{3,5}{1,3} = 2,7 \text{ Т/м}^2.$$

По графику на рис. 5 в разделе II для $\alpha = 33^\circ$ (крутизна откоса) и $\rho = 9^\circ 15'$ получаем: $H' = \frac{H}{H_{90}} \approx 4,8 \text{ м};$

$$H_{90} = \frac{2 \cdot 2,7}{2} (\operatorname{tg} (45^\circ - \frac{9^\circ 15'}{2})) = 3,2 \text{ м};$$

$$H = H' \cdot H_{90} = 4,8 \cdot 3,2 = 15 \text{ м} < 16 \text{ м.}$$

Таким образом, откос заданной крутизны (33^0) имеет коэффициент запаса устойчивости менее 1,3.

Для обеспечения надлежащей устойчивости необходимо запроектировать более пологий откос. Принимаем заложение откоса I:2 ($26^024'$). Тогда по графику на рис.5 получим:

$$H' = \frac{H}{H_{90}} = 5,6 \text{ м}; H = H' \cdot H_{90} = 5,6 \cdot 3,2 = 18 \text{ м} > 16 \text{ м}$$

Следовательно, при заложении откоса I:2 устойчивость его достаточна.

ЛИТЕРАТУРА

1. Ломтадзе В.Д. Инженерная геология. Инженерная петрология. Л., "Недра", 1970.
2. Фисенко Г.Л. Устойчивость бортов карьеров и отвалов. М., "Недра", 1965.
3. Сергеев Е.М., Голодковская Г.А., Зангиев Р.С., Осипов В.И., Трофимов В.Г., Грунтоведение, М., Изд-во МГУ, 1971.
4. Строительные нормы и правила. СНиП II-Б I-62. Основания зданий и сооружений. Нормы проектирования. М., Госстройиздат, 1962.
5. Указания по проектированию земляного полотна железных и автомобильных дорог (СН-449-72). М., Оргтрансстрой, 1973.
6. Строительные нормы и правила, часть II, раздел 4, глава I, Железные дороги, нормы проектирования (СНиП II-Д I-62). М., Изд-во литературы по строительству, 1964.
7. Технические условия сооружения железнодорожного земляного полотна (СН 61-59). М., Изд-во литературы по строительству, архитектуре и строительным материалам, 1960.
8. Альбом типовых поперечных профилей земляного полотна новых сгружаемых железных дорог. М., Главтранспроект, 1964.
9. Руководство по определению оптимальных углов наклона бортов карьеров и отвалов. Л., изд. ВНИИИ, 1962.
10. Методические указания по определению углов наклона бортов, откосов уступов и отвалов строящихся и эксплуатируемых карьеров. Л., изд. ВНИИИ, 1972.
11. Савков Л.В. Расчет устойчивости откосов в склоновых трещиноватых породах. "Физико-механические процессы разработки полезных ископаемых", № 5. Ново-жирск, "Наука", 1965.
12. Савков Л.В. К вопросу учета трещиноватости при расчетах устойчивости откосов в склоновых породах. "Физико-

технические проблемы разработки полезных ископаемых", № 1. Новосибирск, "Наука", 1967.

13. Звонярев И.К., Кацемазова С.В. Предварительный расчет параметров оснований откосов на карьерах в результате выветривания. Известия высших учебных заведений. Геология и разведка, № 12. М., изд. МГРИ, 1969.

14. Методические указания по оценке местной устойчивости откосов и выбору способов их укрепления в различных природных условиях. М., изд. ЦНИИСа, 1970.

15. Метвеев Б.В. Методика лабораторного определения свойств горных пород на сдвиг (срез). Л., изд. ВНИИИ, 1961.

16. Протодьяконов М.М., Койфман М.И., Чирков С.Е., Кунтыш М.Ф., Тадер Р.И. Паспорта прочности горных пород и методы их определения. М., "Наука", 1964.

17. Чирков С.Е. Влияние масштабного фактора на прочность углей. М., "Наука", 1969.

18. Методические указания по производству натурных испытаний сопротивления сдвигу неоднородных слоистых и трещиноватых пород. Л., изд. ВНИИИ, 1965.

19. Методическое пособие по натурным методам механических испытаний горных пород. Л., изд. ВНИИИ, 1969.

20. Барон Л.И., Логунцов Б.М., Позин Е.З. Определение свойств горных пород. Госгортехиздат, 1962.

21. Методические указания по исследованию скальных массивов при изысканиях дорог. М., изд. ЦНИИСа, 1967.

22. Предложения по совершенствованию норм проектирования скальных выемок. М., изд. ЦНИИСа, 1968.

23. Методика инженерно-геологического обследования оползней на железных дорогах. "Вопросы геотехники", № 14. Днепропетровск, 1969.

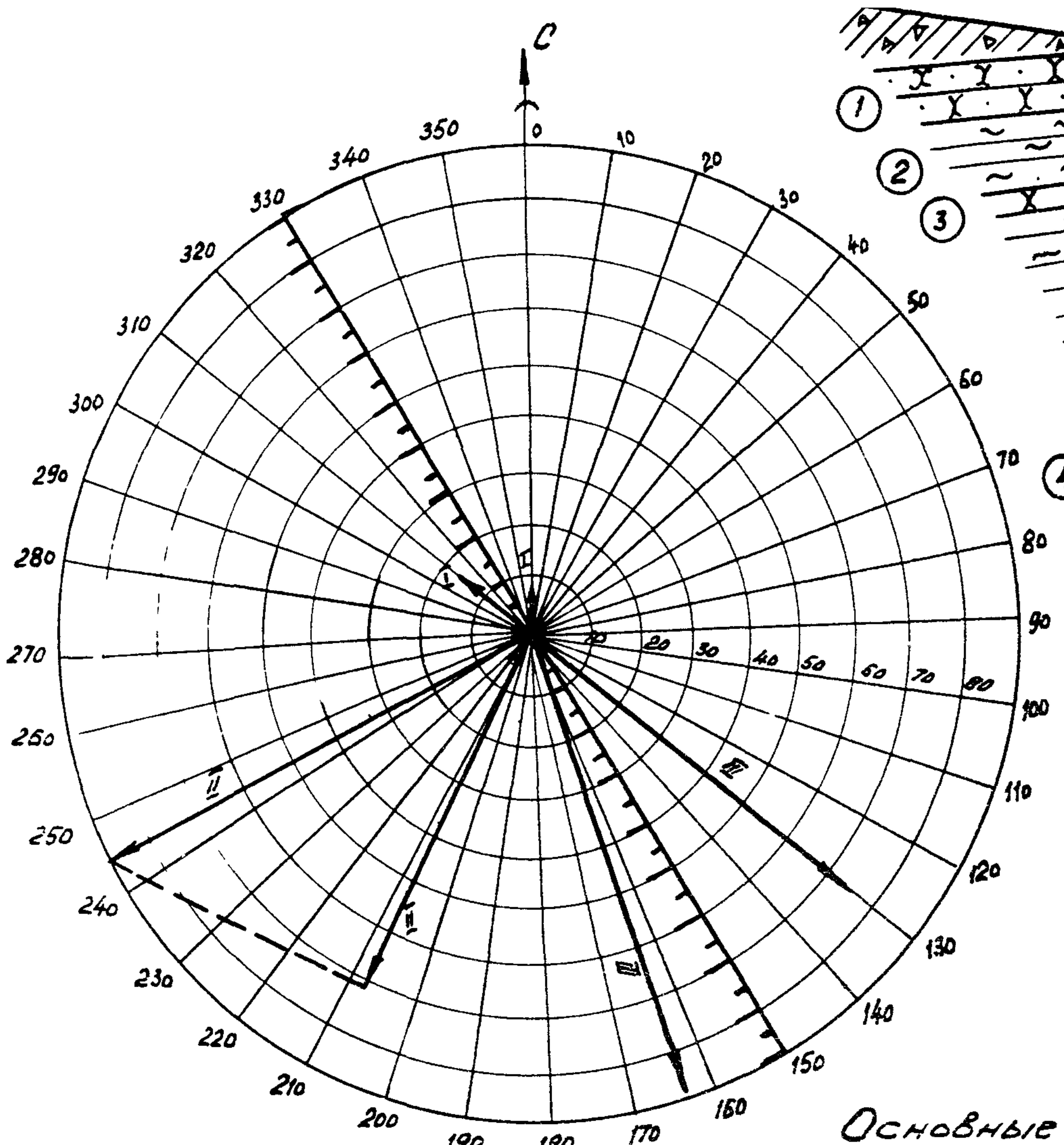
24. Методические указания по сравнению вариантов проектных решений железнодорожных линий, узлов и станций. М., Оргтрансстрой, 1973.

25. Типовая методика определения экономической эффективности капитальных вложений. М., "Экономика", 1969.

26. Мочалов А.М. Определение ширины призмы обрушения плоского откоса. "Физико-технические проблемы разработки полезных ископаемых", № 4. Новосибирск, "Наука", 1968.
27. Мочалов А.М. Расчет устойчивости слоистых откосов. Труды ВНИМИ, сб.83, Л., изд. ВНИМИ, 1971.
28. Козленко П.Д. Расчет устойчивости слоистых откосов. Труды ВНИМИ, сб.58. Л., изд. ВНИМИ, 1966.
29. Козленко П.Д. Расчет углов наклона бортов карьеров в условиях анизотропных пород. Труды ВНИМИ, сб.38. Л., изд. ВНИМИ, 1960.
30. Белов Ю.Д. Определение прочности горных пород динамическими пробниками. Труды ВНИМИ, сб.60.Л., изд. ВНИМИ, 1966.
31. Кагермазова С.В. Некоторые результаты изучения выветривания горных пород на карьерах. Труды ВНИМИ, сб.64. Л., изд. ВНИМИ, 1968.
32. Инструкция по наблюдению за деформациями бортов, откосов уступов и отвалов на карьерах и разработка мероприятий по обеспечению их устойчивости. Л., изд. ВНИМИ, 1971.
33. Славянов В.Н. Инженерно-геологические прогнозы устойчивости откосов. М., Жд-во литературы по строительству, 1964
34. Куваев Н.Н. Влияние трещиноватости на устойчивость бортов карьеров. "Научные записки УкрНИИпроекта", вып.10, Киев, 1963.

	Стр.
ПРЕДИСЛОВИЕ	3
1. Инженерно-геологические свойства легковыветривающихся скальных пород и особенности проектирования откосов в них	4
2. Расчет общей устойчивости откосов выемок..	9
3. Оценка местной устойчивости.....	21
4. Прочностные параметры скальных пород и методы их определения.....	27
5. Возможные типовые и индивидуальные решения	34
6. Характер и объем инженерно-геодетических исследований.....	37
ПРИЛОЖЕНИЯ	
1. Методика классификации пород по степени устойчивости к выветриванию.....	40
2. Методика нахождения оптимального очертания откосов выемок.....	44
3. Номограммы для оценки общей устойчивости откосов.....	46
4. Последовательность выполнения расчетов общей устойчивости откосов по схеме IX.....	57
5. Последовательность выполнения расчетов общей устойчивости откосов по схеме X.....	61
6. График для определения коэффициентов А и Б при расчете местной устойчивости ..	66
7. Использование динамического пробника для получения расчетных параметров ускоренным методом.....	67
8. Значения Ψ_{tr} при отсутствии заполнителя по контактам поверхностей ослабления....	69
9. Значение Стр при отсутствии заполнителя по контактам поверхностей ослабления.....	70
10. Примеры расчета общей устойчивости откосов выемок.....	71

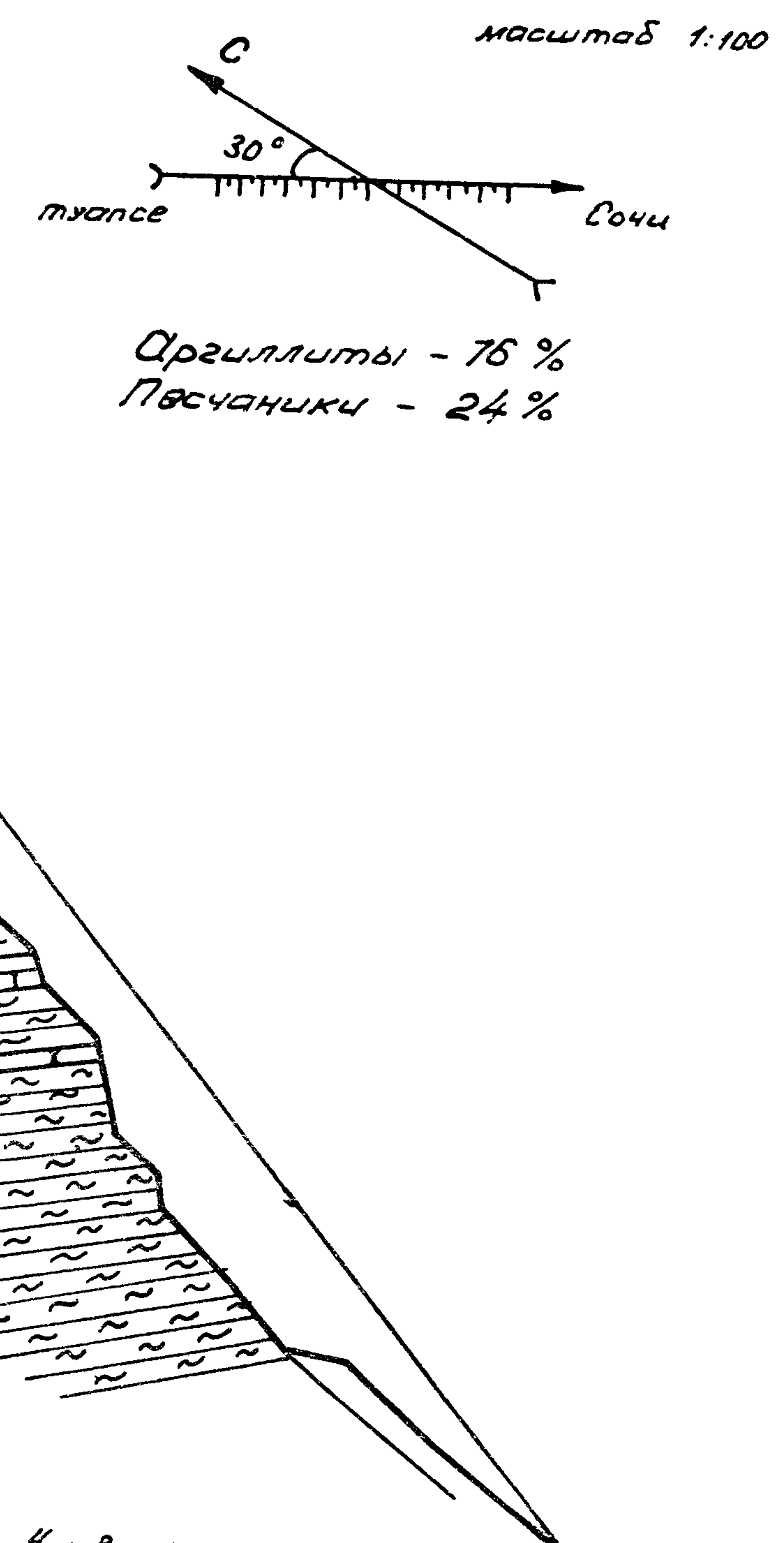
Редактор Г.А.Мишина
Корректоры М.Ф.Шувалова, О.Д.Сухова
Подп. к печ. 12.XI.73г. № л-77149
Заказ 383 . Объем 5п.л.+1 вклейка.
Тираж 800 экз. Ротапринт ЦНИИСа



данные для построения розы

Расстояние между трещинами
в см.

Система трещиновато- ности	Однини ца размеры и расположение	Коэф. расп. рассло.	Характеристика трещин	1 - 5				5 - 10				10 - 20				> 20				Среднее значение расстояния между трещинами см.
				Кол-во	%	Кол-во	%	Кол-во	%	Кол-во	%	Кол-во	%	Кол-во	%	Кол-во	%			
I	355-310	5-14	ширина до 3 мм. шероховат. - среднее обводнение - сухое	1,2,3	50	-	-	20	0	50, 60, 30, 40, 50	42	12	100	100	100	100	13,4			
II	207-245	72-90	ширина - до 2 мм. шероховат. - среднее бумеранговая обводнение - сухое	3,4,5,3 4,5,3,5 3,4,5	73	10,8,9, 10	07	-	-	-	19	15	12	10	13	5,4	21,8			
III	130-163	72-90	ширина - волнистые шероховат. - среднее обводнение - сухое	3,4,5	16	10,10,8, 9,10,6, 7,8,9,10, 8,9,10	68	-	-	30,40,50	16	19	15	12	13	5,4	21,8			



Условные
обозначения:



Линия откоса

К примеру, расчета общей
устойчивости откоса